



COMMISSARIO DELEGATO PER L'EMERGENZA
 DETERMINATASI NEL SETTORE DEL TRAFFICO E DELLA MOBILITÀ NEL
 TERRITORIO DELLE PROVINCE DI TREVISO E VICENZA

SUPERSTRADA A PEDAGGIO PEDEMONTANA VENETA

CONCESSIONARIO

PROGETTISTA



SPV srl
 Via Inverio, 24/A
 10146 Torino

Società di progetto ai sensi dell'art. 156 D.LGS 163/06
 subentrato all'ATI



SIS Scpa
 Via Inverio, 24/A
 10146 Torino

Consorzio Stabile fra le Imprese:



SACYR S.A.



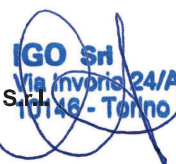
INC S.p.A.



SIPAL S.p.A.



INFRAESTRUCTURAS S.A.
 Paseo de la Castellana, 83-85
 28046 Madrid



Ingegneria Grandi Opere S.r.l.
 Via Inverio, 24/A
 10146 Torino

RESPONSABILE PROGETTAZIONE

**RESPONSABILE INTEGRAZIONE
 PRESTAZIONI SPECIALISTICHE**

**SUPPORTO ALLA PROGETTAZIONE
 DELL'INFRASTRUTTURA E DELLE OPERE CIVILI**

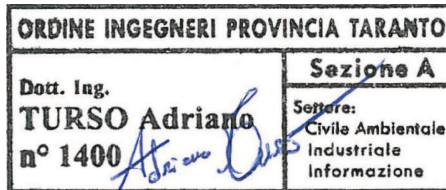


**ORDINE DEGLI INGEGNERI
 DELLA PROVINCIA DI CUNEO**
 1211 *Dott. Ing. Claudio Dogliani*



**COORDINATORE PER LA SICUREZZA
 IN FASE DI PROGETTAZIONE**

GEOLOGO



N. Progr. _____
 Carrella N. _____

PROGETTO DEFINITIVO

(C.U.P. H51B03000050009)

LOTTO 3 - TRATTA "F"
 dal Km. 54+755 al Km 55+495

TITOLO ELABORATO:

PROGETTO DELL'INFRASTRUTTURA

**OPERE D'ARTE MINORI: OPERE DI ATTRAVERSAMENTO
 CAVALCAVIA SV. RIESE - CA.3F.01**
 Relazione di calcolo dei muri in attacco alla spalla SP2

P V D S R A P C A 3 F 0 0 1 - 0 0 1 0 0 0 5 R A 0

SCALA: -

REV.	DESCRIZIONE	REDATTO	DATA	VERIFICATO	DATA	APPROVATO	DATA
0	PRIMA EMISSIONE	SICS	05/03/2012	IGO	09/03/2012	SIS	14/03/2012

IL RESPONSABILE DEL PROCEDIMENTO:

Ing. Giuseppe FASIOL

IL COMMISSARIO:

Ing. Silvano VERNIZZI

VALIDAZIONE:

PROTOCOLLO : _____

DEL: _____

**COMMISSARIO DELEGATO PER L'EMERGENZA DETERMINATASI NEL
SETTORE DEL TRAFFICO E DELLA MOBILITA' NEL TERRITORIO
DELLE PROVINCE DI TREVISO E VICENZA**

**SUPERSTRADA A PEDAGGIO
PEDEMONTANA VENETA**

PROGETTO DEFINITIVO

OPERE D'ARTE MINORI: OPERE DI ATTRAVERSAMENTO
Cavalcavia Sv. Riese CA.3F.01
Relazione di calcolo muri in attacco alla spalla SP2

INDICE

INDICE	2
1. DESCRIZIONE DELL'OPERA.....	3
2. ESAME DEI RISULTATI.....	4
2.1. TRATTO F	4
2.1.1. TIPO F2 - MURO TRATTO F CON ALTEZZA FUORI TERRA DI 3M	4

1. DESCRIZIONE DELL'OPERA

Nel presente elaborato sono riportati i calcoli statici (ottenuti mediante l'utilizzo del programma **MAX10.0**[®] Rel. 10.05a del 2010, distribuita dalla società AZTEC) delle strutture in calcestruzzo armato relativi alla realizzazione dei muri di sostegno in c.a., compresi tra il km 54+755 e il km 55+495 della tratta F del lotto 3F della Superstrada a pedaggio Pedemontana Veneta.

L'opera sarà realizzata mediante una piastra di fondazione sulla quale si innesteranno i paramenti verticali costituiti da lastre prefabbricate in cemento armato, a spessore costante, o in cemento armato gettato in opera, solidarizzate tramite un cordolo di collegamento in testa, secondo quanto indicato negli elaborati grafici di progetto.

2. ESAME DEI RISULTATI

2.1. TRATTO F

2.1.1. Tipo F2 - Muro tratto F con altezza fuori terra di 3m

Normativa

N.T.C. 2008 - Approccio 1

Simbologia adottata

γ_{Gsfav}	Coefficiente parziale sfavorevole sulle azioni permanenti
γ_{Gfav}	Coefficiente parziale favorevole sulle azioni permanenti
γ_{Qsfav}	Coefficiente parziale sfavorevole sulle azioni variabili
γ_{Qfav}	Coefficiente parziale favorevole sulle azioni variabili
$\gamma_{tan\phi'}$	Coefficiente parziale di riduzione dell'angolo di attrito drenato
$\gamma_{c'}$	Coefficiente parziale di riduzione della coesione drenata
γ_{cu}	Coefficiente parziale di riduzione della coesione non drenata
γ_{qu}	Coefficiente parziale di riduzione del carico ultimo
γ_{γ}	Coefficiente parziale di riduzione della resistenza a compressione uniassiale delle rocce

Coefficienti di partecipazione combinazioni statiche

Coefficienti parziali per le azioni o per l'effetto delle azioni:

Carichi	Effetto		A1	A2	EQU	HYD
Permanenti	Favorevole	γ_{Gfav}	1.00	1.00	0.90	0.90
Permanenti	Sfavorevole	γ_{Gsfav}	1.30	1.00	1.10	1.30
Variabili	Favorevole	γ_{Qfav}	0.00	0.00	0.00	0.00
Variabili	Sfavorevole	γ_{Qsfav}	1.50	1.30	1.50	1.50

Coefficienti parziali per i parametri geotecnici del terreno:

Parametri		M1	M2	M2	M1
Tangente dell'angolo di attrito	$\gamma_{tan\phi'}$	1.00	1.25	1.25	1.00
Coesione efficace	$\gamma_{c'}$	1.00	1.25	1.25	1.00
Resistenza non drenata	γ_{cu}	1.00	1.40	1.40	1.00
Resistenza a compressione uniassiale	γ_{qu}	1.00	1.60	1.60	1.00
Peso dell'unità di volume	γ_{γ}	1.00	1.00	1.00	1.00

Coefficienti di partecipazione combinazioni sismiche

Coefficienti parziali per le azioni o per l'effetto delle azioni:

Carichi	Effetto		A1	A2	EQU	HYD
Permanenti	Favorevole	γ_{Gfav}	1.00	1.00	1.00	0.90
Permanenti	Sfavorevole	γ_{Gsfav}	1.00	1.00	1.00	1.30
Variabili	Favorevole	γ_{Qfav}	0.00	0.00	0.00	0.00
Variabili	Sfavorevole	γ_{Qsfav}	1.00	1.00	1.00	1.50

Coefficienti parziali per i parametri geotecnici del terreno:

Parametri		M1	M2	M2	M1
Tangente dell'angolo di attrito	$\gamma_{tan\phi'}$	1.00	1.25	1.25	1.00
Coesione efficace	$\gamma_{c'}$	1.00	1.25	1.25	1.00
Resistenza non drenata	γ_{cu}	1.00	1.40	1.40	1.00
Resistenza a compressione uniassiale	γ_{qu}	1.00	1.60	1.60	1.00
Peso dell'unità di volume	γ_{γ}	1.00	1.00	1.00	1.00

FONDAZIONE SUPERFICIALE

Coefficienti parziali γ_R per le verifiche agli stati limite ultimi STR e GEO

PV_D_SR_AP_CA_3_F_001-001_0_005_R_A_0

Cavalcavia Sv. Rlese CA.3F.01 – Relazione di calcolo muri in attacco alla spalla SP2**Verifica****Coefficienti parziali**

	R1	R2	R3
Capacità portante della fondazione	1.00	1.00	1.40
Scorrimento	1.00	1.00	1.10
Resistenza del terreno a valle	1.00	1.00	1.40
Stabilità globale		1.10	

Geometria muro e fondazione**Descrizione****Muro a mensola in c.a.**

Altezza del paramento	3.00 [m]
Spessore in sommità	0.10 [m]
Spessore all'attacco con la fondazione	0.10 [m]
Inclinazione paramento esterno	0.00 [°]
Inclinazione paramento interno	0.00 [°]

Fondazione

Lunghezza mensola fondazione di valle	0.50 [m]
Lunghezza mensola fondazione di monte	2.10 [m]
Lunghezza totale fondazione	2.70 [m]
Inclinazione piano di posa della fondazione	0.00 [°]
Spessore fondazione	0.50 [m]
Spessore magrone	0.10 [m]

Contrafforti prefabbricati

Altezza contrafforti	3.00 [m]
Spessore contrafforti	0.20 [m]
Larghezza in sommità	0.30 [m]
Larghezza alla base	0.30 [m]
Larghezza elemento	1.20 [m]
Numero contrafforti	8
Posizione :	Monte

Materiali utilizzati per la struttura**Calcestruzzo**

Peso specifico	25.000 [kN/mc]
Classe di Resistenza	C25/30
Resistenza caratteristica a compressione R_{ck}	30.00 [MPa]
Modulo elastico E	31447.048 [MPa]

Acciaio

Tipo	B450C
Tensione di snervamento σ_{fa}	450 [MPa]

Geometria profilo terreno a monte del muro**Simbologia adottata e sistema di riferimento**

(Sistema di riferimento con origine in testa al muro, ascissa X positiva verso monte, ordinata Y positiva verso l'alto)

N numero ordine del punto
 X ascissa del punto espressa in [m]
 Y ordinata del punto espressa in [m]
 A inclinazione del tratto espressa in [°]

N	X	Y	A
1	30.00	0.00	0.00

Terreno a valle del muro

PV_D_SR_AP_CA_3_F_001-_001_0_005_R_A_0

Cavalcavia Sv. Riese CA.3F.01 – Relazione di calcolo muri in attacco alla spalla SP2

Inclinazione terreno a valle del muro rispetto all'orizzontale	0.00	[°]
Altezza del rinterro rispetto all'attacco fondaz.valle-paramento	0.60	[m]

Descrizione terreni*Simbologia adottata*

Nr.	Indice del terreno
Descrizione	Descrizione terreno
γ	Peso di volume del terreno espresso in [kN/mc]
γ_s	Peso di volume saturo del terreno espresso in [kN/mc]
ϕ	Angolo d'attrito interno espresso in [°]
δ	Angolo d'attrito terra-muro espresso in [°]
c	Coesione espressa in [MPa]
c_a	Adesione terra-muro espressa in [MPa]

Descrizione	γ	γ_s	ϕ	δ	c	c_a
RILEVATO	18.00	18.00	36.00	24.00	0.0000	0.0000
FONDAZIONE	20.00	20.00	40.00	40.00	0.0000	0.0000

Stratigrafia*Simbologia adottata*

N	Indice dello strato
H	Spessore dello strato espresso in [m]
a	Inclinazione espressa in [°]
Kw	Costante di Winkler orizzontale espressa in Kg/cm ² /cm
Ks	Coefficiente di spinta
Terreno	Terreno dello strato

Nr.	H	a	Kw	Ks	Terreno
1	3.50	0.00	0.00	0.00	RILEVATO
2	10.00	0.00	15.52	0.00	FONDAZIONE

Condizioni di carico*Simbologia e convenzioni di segno adottate*

Carichi verticali positivi verso il basso.

Carichi orizzontali positivi verso sinistra.

Momento positivo senso antiorario.

X	Ascissa del punto di applicazione del carico concentrato espressa in [m]
F_x	Componente orizzontale del carico concentrato espressa in [kN]
F_y	Componente verticale del carico concentrato espressa in [kN]
M	Momento espresso in [kNm]
X_i	Ascissa del punto iniziale del carico ripartito espressa in [m]
X_f	Ascissa del punto finale del carico ripartito espressa in [m]
Q_i	Intensità del carico per $x=X_i$ espressa in [kN/m]
Q_f	Intensità del carico per $x=X_f$ espressa in [kN/m]
D / C	Tipo carico : D=distribuito C=concentrato

Condizione n° 1 (PERMANENTI)

D	Profilo	$X_i=1.50$	$X_f=10.50$	$Q_i=4.0000$	$Q_f=4.0000$
---	---------	------------	-------------	--------------	--------------

Condizione n° 2 (MOBILI)

C	Paramento	$X=-0.05$	$Y=0.00$	$F_x=15.4000$	$F_y=0.0000$	$M=15.4000$
D	Profilo	$X_i=1.50$	$X_f=4.50$	$Q_i=33.4000$	$Q_f=33.4000$	
D	Profilo	$X_i=4.50$	$X_f=7.50$	$Q_i=20.0000$	$Q_f=20.0000$	
D	Profilo	$X_i=7.50$	$X_f=10.50$	$Q_i=20.0000$	$Q_f=20.0000$	

Condizione n° 3 (Vento)

C	Paramento	$X=0.00$	$Y=0.00$	$F_x=3.0000$	$F_y=0.0000$	$M=6.0000$
---	-----------	----------	----------	--------------	--------------	------------

Descrizione combinazioni di carico

PV_D_SR_AP_CA_3_F_001-_001_0_005_R_A_0

Cavalcavia Sv. Riese CA.3F.01 – Relazione di calcolo muri in attacco alla spalla SP2**Simbologia adottata**

F/S Effetto dell'azione (FAV: Favorevole, SFAV: Sfavorevole)

 γ Coefficiente di partecipazione della condizione Ψ Coefficiente di combinazione della condizioneCombinazione n° 1 - Caso A1-M1 (STR)

	S/F	γ	Ψ	$\gamma * \Psi$
Peso proprio muro	FAV	1.00	1.00	1.00
Peso proprio terrapieno	FAV	1.00	1.00	1.00
Spinta terreno	SFAV	1.30	1.00	1.30
PERMANENTI	SFAV	1.30	1.00	1.30

Combinazione n° 2 - Caso A2-M2 (GEO)

	S/F	γ	Ψ	$\gamma * \Psi$
Peso proprio muro	SFAV	1.00	1.00	1.00
Peso proprio terrapieno	SFAV	1.00	1.00	1.00
Spinta terreno	SFAV	1.00	1.00	1.00
PERMANENTI	SFAV	1.00	1.00	1.00

Combinazione n° 3 - Caso EQU (SLU)

	S/F	γ	Ψ	$\gamma * \Psi$
Peso proprio muro	FAV	0.90	1.00	0.90
Peso proprio terrapieno	FAV	0.90	1.00	0.90
Spinta terreno	SFAV	1.10	1.00	1.10
PERMANENTI	SFAV	1.10	1.00	1.10

Combinazione n° 4 - Caso A2-M2 (GEO-STAB)

	S/F	γ	Ψ	$\gamma * \Psi$
Peso proprio muro	SFAV	1.00	1.00	1.00
Peso proprio terrapieno	SFAV	1.00	1.00	1.00
Spinta terreno	SFAV	1.00	1.00	1.00
PERMANENTI	SFAV	1.00	1.00	1.00

Combinazione n° 5 - Caso A1-M1 (STR)

	S/F	γ	Ψ	$\gamma * \Psi$
Peso proprio muro	FAV	1.00	1.00	1.00
Peso proprio terrapieno	FAV	1.00	1.00	1.00
Spinta terreno	SFAV	1.30	1.00	1.30
PERMANENTI	SFAV	1.30	1.00	1.30
MOBILI	SFAV	1.50	0.90	1.35
Vento	SFAV	1.50	0.60	0.90

Combinazione n° 6 - Caso A2-M2 (GEO)

	S/F	γ	Ψ	$\gamma * \Psi$
Peso proprio muro	SFAV	1.00	1.00	1.00
Peso proprio terrapieno	SFAV	1.00	1.00	1.00
Spinta terreno	SFAV	1.00	1.00	1.00
PERMANENTI	SFAV	1.00	1.00	1.00
MOBILI	SFAV	1.30	0.90	1.17
Vento	SFAV	1.30	0.60	0.78

Combinazione n° 7 - Caso EQU (SLU)

	S/F	γ	Ψ	$\gamma * \Psi$
Peso proprio muro	FAV	0.90	1.00	0.90
Peso proprio terrapieno	FAV	0.90	1.00	0.90
Spinta terreno	SFAV	1.10	1.00	1.10
PERMANENTI	SFAV	1.10	1.00	1.10
MOBILI	SFAV	1.50	0.90	1.35
Vento	SFAV	1.50	0.60	0.90

PV_D_SR_AP_CA_3_F_001-_001_0_005_R_A_0

Cavalcavia Sv. Riese CA.3F.01 – Relazione di calcolo muri in attacco alla spalla SP2Combinazione n° 8 - Caso A2-M2 (GEO-STAB)

	S/F	γ	Ψ	$\gamma * \Psi$
Peso proprio muro	SFAV	1.00	1.00	1.00
Peso proprio terrapieno	SFAV	1.00	1.00	1.00
Spinta terreno	SFAV	1.00	1.00	1.00
PERMANENTI	SFAV	1.00	1.00	1.00
MOBILI	SFAV	1.30	0.90	1.17
Vento	SFAV	1.30	0.60	0.78

Combinazione n° 9 - Caso A1-M1 (STR)

	S/F	γ	Ψ	$\gamma * \Psi$
Peso proprio muro	FAV	1.00	1.00	1.00
Peso proprio terrapieno	FAV	1.00	1.00	1.00
Spinta terreno	SFAV	1.30	1.00	1.30
PERMANENTI	SFAV	1.30	1.00	1.30
MOBILI	SFAV	1.50	0.68	1.02
Vento	SFAV	1.50	1.00	1.50

Combinazione n° 10 - Caso A2-M2 (GEO)

	S/F	γ	Ψ	$\gamma * \Psi$
Peso proprio muro	SFAV	1.00	1.00	1.00
Peso proprio terrapieno	SFAV	1.00	1.00	1.00
Spinta terreno	SFAV	1.00	1.00	1.00
PERMANENTI	SFAV	1.00	1.00	1.00
MOBILI	SFAV	1.30	0.68	0.88
Vento	SFAV	1.30	1.00	1.30

Combinazione n° 11 - Caso EQU (SLU)

	S/F	γ	Ψ	$\gamma * \Psi$
Peso proprio muro	FAV	0.90	1.00	0.90
Peso proprio terrapieno	FAV	0.90	1.00	0.90
Spinta terreno	SFAV	1.10	1.00	1.10
PERMANENTI	SFAV	1.10	1.00	1.10
MOBILI	SFAV	1.50	0.68	1.02
Vento	SFAV	1.50	1.00	1.50

Combinazione n° 12 - Caso A2-M2 (GEO-STAB)

	S/F	γ	Ψ	$\gamma * \Psi$
Peso proprio muro	SFAV	1.00	1.00	1.00
Peso proprio terrapieno	SFAV	1.00	1.00	1.00
Spinta terreno	SFAV	1.00	1.00	1.00
PERMANENTI	SFAV	1.00	1.00	1.00
MOBILI	SFAV	1.30	0.68	0.88
Vento	SFAV	1.30	1.00	1.30

Combinazione n° 13 - Caso A1-M1 (STR) - Sisma Vert. negativo

	S/F	γ	Ψ	$\gamma * \Psi$
Peso proprio muro	SFAV	1.00	1.00	1.00
Peso proprio terrapieno	SFAV	1.00	1.00	1.00
Spinta terreno	SFAV	1.00	1.00	1.00
PERMANENTI	SFAV	1.00	1.00	1.00

Combinazione n° 14 - Caso A1-M1 (STR) - Sisma Vert. positivo

	S/F	γ	Ψ	$\gamma * \Psi$
Peso proprio muro	SFAV	1.00	1.00	1.00
Peso proprio terrapieno	SFAV	1.00	1.00	1.00
Spinta terreno	SFAV	1.00	1.00	1.00
PERMANENTI	SFAV	1.00	1.00	1.00

Combinazione n° 15 - Caso A2-M2 (GEO) - Sisma Vert. positivo

PV_D_SR_AP_CA_3_F_001-001_0_005_R_A_0

Cavalcavia Sv. Rlese CA.3F.01 – Relazione di calcolo muri in attacco alla spalla SP2

	S/F	γ	Ψ	$\gamma * \Psi$
Peso proprio muro	SFAV	1.00	1.00	1.00
Peso proprio terrapieno	SFAV	1.00	1.00	1.00
Spinta terreno	SFAV	1.00	1.00	1.00
PERMANENTI	SFAV	1.00	1.00	1.00

Combinazione n° 16 - Caso A2-M2 (GEO) - Sisma Vert. negativo

	S/F	γ	Ψ	$\gamma * \Psi$
Peso proprio muro	SFAV	1.00	1.00	1.00
Peso proprio terrapieno	SFAV	1.00	1.00	1.00
Spinta terreno	SFAV	1.00	1.00	1.00
PERMANENTI	SFAV	1.00	1.00	1.00

Combinazione n° 17 - Caso EQU (SLU) - Sisma Vert. negativo

	S/F	γ	Ψ	$\gamma * \Psi$
Peso proprio muro	FAV	1.00	1.00	1.00
Peso proprio terrapieno	FAV	1.00	1.00	1.00
Spinta terreno	SFAV	1.00	1.00	1.00
PERMANENTI	SFAV	1.00	1.00	1.00

Combinazione n° 18 - Caso EQU (SLU) - Sisma Vert. positivo

	S/F	γ	Ψ	$\gamma * \Psi$
Peso proprio muro	FAV	1.00	1.00	1.00
Peso proprio terrapieno	FAV	1.00	1.00	1.00
Spinta terreno	SFAV	1.00	1.00	1.00
PERMANENTI	SFAV	1.00	1.00	1.00

Combinazione n° 19 - Caso A2-M2 (GEO-STAB) - Sisma Vert. positivo

	S/F	γ	Ψ	$\gamma * \Psi$
Peso proprio muro	SFAV	1.00	1.00	1.00
Peso proprio terrapieno	SFAV	1.00	1.00	1.00
Spinta terreno	SFAV	1.00	1.00	1.00
PERMANENTI	SFAV	1.00	1.00	1.00

Combinazione n° 20 - Caso A2-M2 (GEO-STAB) - Sisma Vert. negativo

	S/F	γ	Ψ	$\gamma * \Psi$
Peso proprio muro	SFAV	1.00	1.00	1.00
Peso proprio terrapieno	SFAV	1.00	1.00	1.00
Spinta terreno	SFAV	1.00	1.00	1.00
PERMANENTI	SFAV	1.00	1.00	1.00

Combinazione n° 21 - Quasi Permanente (SLE)

	S/F	γ	Ψ	$\gamma * \Psi$
Peso proprio muro	--	1.00	1.00	1.00
Peso proprio terrapieno	--	1.00	1.00	1.00
Spinta terreno	--	1.00	1.00	1.00
PERMANENTI	SFAV	1.00	1.00	1.00

Combinazione n° 22 - Frequente (SLE)

	S/F	γ	Ψ	$\gamma * \Psi$
Peso proprio muro	--	1.00	1.00	1.00
Peso proprio terrapieno	--	1.00	1.00	1.00
Spinta terreno	--	1.00	1.00	1.00
PERMANENTI	SFAV	1.00	1.00	1.00
MOBILI	SFAV	1.00	0.75	0.75

Combinazione n° 23 - Frequente (SLE)

	S/F	γ	Ψ	$\gamma * \Psi$
Peso proprio muro	--	1.00	1.00	1.00
Peso proprio terrapieno	--	1.00	1.00	1.00

PV_D_SR_AP_CA_3_F_001-001_0_005_R_A_0

Cavalcavia Sv. Riese CA.3F.01 – Relazione di calcolo muri in attacco alla spalla SP2

Spinta terreno	--	1.00	1.00	1.00
PERMANENTI	SFAV	1.00	1.00	1.00
Vento	SFAV	1.00	0.20	0.20

Combinazione n° 24 - Rara (SLE)

	S/F	γ	Ψ	$\gamma * \Psi$
Peso proprio muro	--	1.00	1.00	1.00
Peso proprio terrapieno	--	1.00	1.00	1.00
Spinta terreno	--	1.00	1.00	1.00
PERMANENTI	SFAV	1.00	1.00	1.00
MOBILI	SFAV	1.00	1.00	1.00
Vento	SFAV	1.00	0.60	0.60

Combinazione n° 25 - Rara (SLE)

	S/F	γ	Ψ	$\gamma * \Psi$
Peso proprio muro	--	1.00	1.00	1.00
Peso proprio terrapieno	--	1.00	1.00	1.00
Spinta terreno	--	1.00	1.00	1.00
PERMANENTI	SFAV	1.00	1.00	1.00
Vento	SFAV	1.00	1.00	1.00
MOBILI	SFAV	1.00	0.75	0.75

Impostazioni di analisi

Metodo verifica sezioni

Stato limite**Impostazioni verifiche SLU**Coefficienti parziali per resistenze di calcolo dei materiali

Coefficiente di sicurezza calcestruzzo a compressione	1.60
Coefficiente di sicurezza calcestruzzo a trazione	1.60
Coefficiente di sicurezza acciaio	1.15
Fattore riduzione da resistenza cubica a cilindrica	0.83
Fattore di riduzione per carichi di lungo periodo	0.85
Coefficiente di sicurezza per la sezione	1.00

Impostazioni verifiche SLE

Condizioni ambientali

Ordinarie

Armatatura ad aderenza migliorata

Verifica fessurazione

Sensibilità delle armature

Poco sensibile

Valori limite delle aperture delle fessure

 $w_1 = 0.20$ $w_2 = 0.30$ $w_3 = 0.40$

Metodo di calcolo aperture delle fessure

Circ. Min. 252 (15/10/1996)

Verifica delle tensioni

Combinazione di carico

Rara $\sigma_c < 0.60 f_{ck}$ - $\sigma_f < 0.80 f_{yk}$ Quasi permanente $\sigma_c < 0.45 f_{ck}$ Calcolo della portanza metodo di VesicCoefficiente correttivo su N_y per effetti cinematici (combinazioni sismiche SLU): 1.00Coefficiente correttivo su N_y per effetti cinematici (combinazioni sismiche SLE): 1.00**Impostazioni avanzate**

Componente verticale della spinta nel calcolo delle sollecitazioni

Influenza del terreno sulla fondazione di valle nelle verifiche e nel calcolo delle sollecitazioni

Diagramma correttivo per eccentricità negativa con aliquota di parzializzazione pari a 0.00

PV_D_SR_AP_CA_3_F_001-001_0_005_R_A_0

Quadro riassuntivo coeff. di sicurezza calcolati

Simbologia adottata

C	Identificativo della combinazione
Tipo	Tipo combinazione
Sisma	Combinazione sismica
CS _{SCO}	Coeff. di sicurezza allo scorrimento
CS _{RIB}	Coeff. di sicurezza al ribaltamento
CS _{QLIM}	Coeff. di sicurezza a carico limite
CS _{STAB}	Coeff. di sicurezza a stabilità globale

C	Tipo	Sisma	CS _{sco}	CS _{rib}	CS _{qlim}	CS _{stab}
1	A1-M1 - [1]	--	5.17	--	38.19	--
2	A2-M2 - [1]	--	4.04	--	15.21	--
3	EQU - [1]	--	--	5.41	--	--
4	STAB - [1]	--	--	--	--	2.61
5	A1-M1 - [2]	--	2.33	--	7.71	--
6	A2-M2 - [2]	--	1.77	--	2.89	--
7	EQU - [2]	--	--	1.47	--	--
8	STAB - [2]	--	--	--	--	1.87
9	A1-M1 - [3]	--	2.56	--	10.10	--
10	A2-M2 - [3]	--	1.96	--	3.91	--
11	EQU - [3]	--	--	1.59	--	--
12	STAB - [3]	--	--	--	--	1.98
13	A1-M1 - [4]	Orizzontale + Verticale negativo	3.35	--	25.04	--
14	A1-M1 - [4]	Orizzontale + Verticale positivo	3.46	--	24.19	--
15	A2-M2 - [4]	Orizzontale + Verticale positivo	2.34	--	7.82	--
16	A2-M2 - [4]	Orizzontale + Verticale negativo	2.27	--	8.04	--
17	EQU - [4]	Orizzontale + Verticale negativo	--	3.01	--	--
18	EQU - [4]	Orizzontale + Verticale positivo	--	3.51	--	--
19	STAB - [4]	Orizzontale + Verticale positivo	--	--	--	2.00
20	STAB - [4]	Orizzontale + Verticale negativo	--	--	--	1.95
21	SLEQ - [1]	--	6.59	--	44.13	--
22	SLEF - [1]	--	3.42	--	19.52	--
23	SLEF - [1]	--	6.44	--	43.92	--
24	SLER - [1]	--	2.93	--	13.68	--
25	SLER - [1]	--	3.25	--	17.04	--

Analisi della spinta e verifiche

Sistema di riferimento adottato per le coordinate :

Origine in testa al muro (spigolo di monte)

Ascisse X (espresse in [m]) positive verso monte

Ordinate Y (espresse in [m]) positive verso l'alto

Le forze orizzontali sono considerate positive se agenti da monte verso valle

Le forze verticali sono considerate positive se agenti dall'alto verso il basso

Calcolo riferito ad 1 metro di muro

Tipo di analisi

Calcolo della spinta

metodo di Culmann

Calcolo del carico limite

metodo di Vesic

Calcolo della stabilità globale

metodo di Bishop

Calcolo della spinta in condizioni di

Spinta attiva

Sisma

Combinazioni SLU

Accelerazione al suolo a_g

3.20 [m/s²]

Coefficiente di amplificazione per tipo di sottosuolo (S)

1.09

Coefficiente di amplificazione topografica (St)

1.00

PV_D_SR_AP_CA_3_F_001-001_0_005_R_A_0

Cavalcavia Sv. Riese CA.3F.01 – Relazione di calcolo muri in attacco alla spalla SP2

Coefficiente riduzione (β_m)	0.31
Rapporto intensità sismica verticale/orizzontale	0.50
Coefficiente di intensità sismica orizzontale (percento)	$k_h=(a_g/g*\beta_m*St*S) = 11.00$
Coefficiente di intensità sismica verticale (percento)	$k_v=0.50 * k_h = 5.50$

Combinazioni SLE

Accelerazione al suolo a_g	1.31 [m/s ²]
Coefficiente di amplificazione per tipo di sottosuolo (S)	1.20
Coefficiente di amplificazione topografica (St)	1.00
Coefficiente riduzione (β_m)	0.24
Rapporto intensità sismica verticale/orizzontale	0.50
Coefficiente di intensità sismica orizzontale (percento)	$k_h=(a_g/g*\beta_m*St*S) = 3.86$
Coefficiente di intensità sismica verticale (percento)	$k_v=0.50 * k_h = 1.93$
Forma diagramma incremento sismico	Stessa forma diagramma statico
Partecipazione spinta passiva (percento)	50.0
Lunghezza del muro	9.60 [m]
Peso muro	41.2500 [kN]
Baricentro del muro	X=0.60 Y=-2.93

Superficie di spinta

Punto inferiore superficie di spinta	X = 2.10	Y = -3.50
Punto superiore superficie di spinta	X = 2.10	Y = 0.00
Altezza della superficie di spinta	3.50 [m]	
Inclinazione superficie di spinta(rispetto alla verticale)	0.00 [°]	

COMBINAZIONE n° 1**Peso muro favorevole e Peso terrapieno favorevole**

Valore della spinta statica	37.9125	[kN]		
Componente orizzontale della spinta statica	34.6348	[kN]		
Componente verticale della spinta statica	15.4204	[kN]		
Punto d'applicazione della spinta	X = 2.10	[m]	Y = -2.27	[m]
Inclinaz. della spinta rispetto alla normale alla superficie	24.00	[°]		
Inclinazione linea di rottura in condizioni statiche	59.53	[°]		
Peso terrapieno gravante sulla fondazione a monte	113.8200	[kN]		
Baricentro terrapieno gravante sulla fondazione a monte	X = 1.05	[m]	Y = -1.50	[m]
Numero contrafforti	8			
Peso del singolo contrafforte	4.5000	[kN]		
Peso del contrafforte riferito ad un metro di muro	3.7500	[kN]		
Baricentro contrafforte	X = 0.15	[m]	Y = -1.50	[m]

Risultanti

Risultante dei carichi applicati in dir. orizzontale	34.6348	[kN]
Risultante dei carichi applicati in dir. verticale	180.2404	[kN]
Resistenza passiva a valle del muro	-27.8234	[kN]
Sforzo normale sul piano di posa della fondazione	180.2404	[kN]
Sforzo tangenziale sul piano di posa della fondazione	34.6348	[kN]
Eccentricità rispetto al baricentro della fondazione	0.01	[m]
Lunghezza fondazione reagente	2.70	[m]
Risultante in fondazione	183.5379	[kN]
Inclinazione della risultante (rispetto alla normale)	10.88	[°]
Momento rispetto al baricentro della fondazione	2.5969	[kNm]
Carico ultimo della fondazione	6884.2102	[kN]

Tensioni sul terreno

Lunghezza fondazione reagente	2.70	[m]
Tensione terreno allo spigolo di valle	0.06889	[MPa]
PV_D_SR_AP_CA_3_F_001-_001_0_005_R_A_0		

Cavalcavia Sv. Rlese CA.3F.01 – Relazione di calcolo muri in attacco alla spalla SP2

Tensione terreno allo spigolo di monte 0.06462 [MPa]

Fattori per il calcolo della capacità portante

Coeff. capacità portante	$N_c = 75.31$	$N_q = 64.20$	$N_\gamma = 109.41$
Fattori forma	$s_c = 1.00$	$s_q = 1.00$	$s_\gamma = 1.00$
Fattori inclinazione	$i_c = 0.68$	$i_q = 0.68$	$i_\gamma = 0.55$
Fattori profondità	$d_c = 1.16$	$d_q = 1.09$	$d_\gamma = 1.00$
Fattori inclinazione piano posa	$b_c = 1.00$	$b_q = 1.00$	$b_\gamma = 1.00$
Fattori inclinazione pendio	$g_c = 1.00$	$g_q = 1.00$	$g_\gamma = 1.00$

I coefficienti N' tengono conto dei fattori di forma, profondità, inclinazione carico, inclinazione piano di posa, inclinazione pendio.

$N'_c = 59.46$	$N'_q = 47.73$	$N'_\gamma = 60.45$
----------------	----------------	---------------------

COEFFICIENTI DI SICUREZZA

Coefficiente di sicurezza a scorrimento	5.17
Coefficiente di sicurezza a carico ultimo	38.19

Sollecitazioni fondazione di valleCombinazione n° 1

L'ascissa X(espressa in m) è considerata positiva verso monte con origine in corrispondenza dell'estremo libero della fondazione di valle

Momento positivo se tende le fibre inferiori, espresso in kNm

Taglio positivo se diretto verso l'alto, espresso in kN

Nr.	X	M	T
1	0.00	0.0000	0.0000
2	0.05	0.0510	2.0377
3	0.10	0.2037	4.0714
4	0.15	0.4580	6.1012
5	0.20	0.8138	8.1270
6	0.25	1.2707	10.1488
7	0.30	1.8286	12.1667
8	0.35	2.4873	14.1806
9	0.40	3.2466	16.1906
10	0.45	4.1063	18.1966
11	0.50	5.0662	20.1986

Sollecitazioni fondazione di monteCombinazione n° 1

L'ascissa X(espressa in m) è considerata positiva verso valle con origine in corrispondenza dell'estremo libero della fondazione di monte

Momento positivo se tende le fibre inferiori, espresso in kNm

Taglio positivo se diretto verso l'alto, espresso in kN

Nr.	X	M	T
1	0.00	0.0000	0.0000
2	0.21	-0.5109	-4.8542
3	0.42	-2.0339	-9.6387
4	0.63	-4.5519	-14.1973
5	0.84	-7.9076	-17.7500
6	1.05	-12.0021	-21.2330
7	1.26	-16.8206	-24.6461
8	1.47	-22.3485	-27.9894
9	1.68	-28.5713	-31.2629
10	1.89	-35.4741	-34.4666
11	2.10	-43.0424	-37.6005

Armature e tensioni nei materiali della fondazione

Cavalcavia Sv. Riese CA.3F.01 – Relazione di calcolo muri in attacco alla spalla SP2Combinazione n° 1

Simbologia adottata

B	base della sezione espressa in [m]
H	altezza della sezione espressa in [m]
A _{fi}	area di armatura in corrispondenza del lembo inferiore in [mq]
A _{fs}	area di armatura in corrispondenza del lembo superiore in [mq]
N _u	sforzo normale ultimo espresso in [kN]
M _u	momento ultimo espresso in [kNm]
CS	coefficiente sicurezza sezione
V _{Rcd}	Aliquota di taglio assorbito dal cls, espresso in [kN]
V _{Rsd}	Aliquota di taglio assorbito dall'armatura, espresso in [kN]
VRd	Resistenza al taglio, espresso in [kN]

Fondazione di valle

(L'ascissa X, espressa in [m], è positiva verso monte con origine in corrispondenza dell'estremo libero della fondazione di valle)

Nr.	Y	B, H	A _{fs}	A _{fi}	N _u	M _u	CS	V _{Rd}	V _{Rcd}	V _{Rsd}
1	0.00	1.00, 0.500	0.0000000	0.000565	0.00	0.00	1000.00	173.53	--	--
2	0.05	1.00, 0.500	0.0000000	0.000565	0.00	98.61	1935.08	173.53	--	--
3	0.10	1.00, 0.500	0.0010050	0.000565	0.00	98.55	483.82	173.53	--	--
4	0.15	1.00, 0.500	0.0010050	0.000565	0.00	98.55	215.17	173.53	--	--
5	0.20	1.00, 0.500	0.0010050	0.000565	0.00	98.55	121.11	173.53	--	--
6	0.25	1.00, 0.500	0.0010050	0.000565	0.00	98.55	77.56	173.53	--	--
7	0.30	1.00, 0.500	0.0010050	0.000565	0.00	98.55	53.90	173.53	--	--
8	0.35	1.00, 0.500	0.0010050	0.000565	0.00	98.55	39.62	173.53	--	--
9	0.40	1.00, 0.500	0.0010050	0.000565	0.00	98.55	30.36	173.53	--	--
10	0.45	1.00, 0.500	0.0010050	0.000565	0.00	98.55	24.00	173.53	--	--
11	0.50	1.00, 0.500	0.0010050	0.000565	0.00	98.55	19.45	173.53	--	--

Fondazione di monte

(L'ascissa X, espressa in [m], è positiva verso valle con origine in corrispondenza dell'estremo libero della fondazione di monte)

Nr.	Y	B, H	A _{fs}	A _{fi}	N _u	M _u	CS	V _{Rd}	V _{Rcd}	V _{Rsd}
1	0.00	1.00, 0.500	0.0000000	0.000565	0.00	0.00	1000.00	173.53	--	--
2	0.21	1.00, 0.500	0.0010050	0.000565	0.00	-172.73	338.08	173.53	--	--
3	0.42	1.00, 0.500	0.0010050	0.000565	0.00	-172.73	84.93	173.53	--	--
4	0.63	1.00, 0.500	0.0010050	0.000565	0.00	-172.73	37.95	173.53	--	--
5	0.84	1.00, 0.500	0.0010050	0.000565	0.00	-172.73	21.84	173.53	--	--
6	1.05	1.00, 0.500	0.0010050	0.000565	0.00	-172.73	14.39	173.53	--	--
7	1.26	1.00, 0.500	0.0010050	0.000565	0.00	-172.73	10.27	173.53	--	--
8	1.47	1.00, 0.500	0.0010050	0.000565	0.00	-172.73	7.73	173.53	--	--
9	1.68	1.00, 0.500	0.0010050	0.000565	0.00	-172.73	6.05	173.53	--	--
10	1.89	1.00, 0.500	0.0010050	0.000565	0.00	-172.73	4.87	173.53	--	--
11	2.10	1.00, 0.500	0.0010050	0.000565	0.00	-172.73	4.01	173.53	--	--

COMBINAZIONE n° 2

Valore della spinta statica	36.7102	[kN]		
Componente orizzontale della spinta statica	34.5820	[kN]		
Componente verticale della spinta statica	12.3175	[kN]		
Punto d'applicazione della spinta	X = 2.10	[m]	Y = -2.27	[m]
Inclinaz. della spinta rispetto alla normale alla superficie	19.61	[°]		
Inclinazione linea di rottura in condizioni statiche	56.17	[°]		
Peso terrapieno gravante sulla fondazione a monte	113.1000	[kN]		
Baricentro terrapieno gravante sulla fondazione a monte	X = 1.05	[m]	Y = -1.50	[m]
Numero contrafforti	8			
Peso del singolo contrafforte	4.5000	[kN]		
Peso del contrafforte riferito ad un metro di muro	3.7500	[kN]		
Baricentro contrafforte	X = 0.15	[m]	Y = -1.50	[m]

Risultanti

PV_D_SR_AP_CA_3_F_001-_001_0_005_R_A_0

Cavalcavia Sv. Riese CA.3F.01 – Relazione di calcolo muri in attacco alla spalla SP2

Risultante dei carichi applicati in dir. orizzontale	34.5820	[kN]
Risultante dei carichi applicati in dir. verticale	176.4175	[kN]
Resistenza passiva a valle del muro	-21.2853	[kN]
Sforzo normale sul piano di posa della fondazione	176.4175	[kN]
Sforzo tangenziale sul piano di posa della fondazione	34.5820	[kN]
Eccentricità rispetto al baricentro della fondazione	0.04	[m]
Lunghezza fondazione reagente	2.70	[m]
Risultante in fondazione	179.7750	[kN]
Inclinazione della risultante (rispetto alla normale)	11.09	[°]
Momento rispetto al baricentro della fondazione	6.9367	[kNm]
Carico ultimo della fondazione	2682.9374	[kN]

Tensioni sul terreno

Lunghezza fondazione reagente	2.70	[m]
Tensione terreno allo spigolo di valle	0.07105	[MPa]
Tensione terreno allo spigolo di monte	0.05963	[MPa]

Fattori per il calcolo della capacità portante

Coeff. capacità portante	$N_c = 75.31$	$N_q = 64.20$	$N_\gamma = 109.41$
Fattori forma	$s_c = 1.00$	$s_q = 1.00$	$s_\gamma = 1.00$
Fattori inclinazione	$i_c = 0.67$	$i_q = 0.68$	$i_\gamma = 0.55$
Fattori profondità	$d_c = 1.16$	$d_q = 1.11$	$d_\gamma = 1.00$
Fattori inclinazione piano posa	$b_c = 1.00$	$b_q = 1.00$	$b_\gamma = 1.00$
Fattori inclinazione pendio	$g_c = 1.00$	$g_q = 1.00$	$g_\gamma = 1.00$
I coefficienti N' tengono conto dei fattori di forma, profondità, inclinazione carico, inclinazione piano di posa, inclinazione pendio.			
	$N'_c = 59.46$	$N'_q = 47.73$	$N'_\gamma = 60.45$

COEFFICIENTI DI SICUREZZA

Coefficiente di sicurezza a scorrimento	4.04
Coefficiente di sicurezza a carico ultimo	15.21

Sollecitazioni fondazione di valleCombinazione n° 2

L'ascissa X(espressa in m) è considerata positiva verso monte con origine in corrispondenza dell'estremo libero della fondazione di valle

Momento positivo se tende le fibre inferiori, espresso in kNm

Taglio positivo se diretto verso l'alto, espresso in kN

Nr.	X	M	T
1	0.00	0.0000	0.0000
2	0.05	0.0581	2.3222
3	0.10	0.2320	4.6338
4	0.15	0.5213	6.9348
5	0.20	0.9253	9.2252
6	0.25	1.4436	11.5051
7	0.30	2.0757	13.7744
8	0.35	2.8209	16.0331
9	0.40	3.6788	18.2813
10	0.45	4.6489	20.5189
11	0.50	5.7305	22.7459

Sollecitazioni fondazione di monteCombinazione n° 2

L'ascissa X(espressa in m) è considerata positiva verso valle con origine in corrispondenza dell'estremo libero della fondazione di monte

Momento positivo se tende le fibre inferiori, espresso in kNm

Taglio positivo se diretto verso l'alto, espresso in kN

Nr.	X	M	T
PV_D_SR_AP_CA_3_F_001-_001_0_005_R_A_0			

Cavalcavia Sv. Rlese CA.3F.01 – Relazione di calcolo muri in attacco alla spalla SP2

1	0.00	0.0000	0.0000
2	0.21	-0.2331	-2.1893
3	0.42	-0.9065	-4.1922
4	0.63	-1.9790	-5.8885
5	0.84	-3.3018	-6.6783
6	1.05	-4.7708	-7.2816
7	1.26	-6.3470	-7.6984
8	1.47	-7.9911	-7.9288
9	1.68	-9.6640	-7.9726
10	1.89	-11.3265	-7.8299
11	2.10	-12.9395	-7.5007

Armature e tensioni nei materiali della fondazioneCombinazione n° 2

Simbologia adottata

B	base della sezione espressa in [m]
H	altezza della sezione espressa in [m]
A _{fi}	area di armatura in corrispondenza del lembo inferiore in [mq]
A _{fs}	area di armatura in corrispondenza del lembo superiore in [mq]
N _u	sforzo normale ultimo espresso in [kN]
M _u	momento ultimo espresso in [kNm]
CS	coefficiente sicurezza sezione
VRcd	Aliquota di taglio assorbito dal cls, espresso in [kN]
VRsd	Aliquota di taglio assorbito dall'armatura, espresso in [kN]
VRd	Resistenza al taglio, espresso in [kN]

Fondazione di valle

(L'ascissa X, espressa in [m], è positiva verso monte con origine in corrispondenza dell'estremo libero della fondazione di valle)

Nr.	Y	B, H	A _{fs}	A _{fi}	N _u	M _u	CS	V _{Rd}	V _{Rcd}	V _{Rsd}
1	0.00	1.00, 0.500	0.0000000	0.000565	0.00	0.00	1000.00	173.53	--	--
2	0.05	1.00, 0.500	0.0000000	0.000565	0.00	98.61	1697.28	173.53	--	--
3	0.10	1.00, 0.500	0.010050	0.000565	0.00	98.55	424.73	173.53	--	--
4	0.15	1.00, 0.500	0.010050	0.000565	0.00	98.55	189.06	173.53	--	--
5	0.20	1.00, 0.500	0.010050	0.000565	0.00	98.55	106.51	173.53	--	--
6	0.25	1.00, 0.500	0.010050	0.000565	0.00	98.55	68.27	173.53	--	--
7	0.30	1.00, 0.500	0.010050	0.000565	0.00	98.55	47.48	173.53	--	--
8	0.35	1.00, 0.500	0.010050	0.000565	0.00	98.55	34.94	173.53	--	--
9	0.40	1.00, 0.500	0.010050	0.000565	0.00	98.55	26.79	173.53	--	--
10	0.45	1.00, 0.500	0.010050	0.000565	0.00	98.55	21.20	173.53	--	--
11	0.50	1.00, 0.500	0.010050	0.000565	0.00	98.55	17.20	173.53	--	--

Fondazione di monte

(L'ascissa X, espressa in [m], è positiva verso valle con origine in corrispondenza dell'estremo libero della fondazione di monte)

Nr.	Y	B, H	A _{fs}	A _{fi}	N _u	M _u	CS	V _{Rd}	V _{Rcd}	V _{Rsd}
1	0.00	1.00, 0.500	0.0000000	0.000565	0.00	0.00	1000.00	173.53	--	--
2	0.21	1.00, 0.500	0.010050	0.000565	0.00	-172.73	740.87	173.53	--	--
3	0.42	1.00, 0.500	0.010050	0.000565	0.00	-172.73	190.55	173.53	--	--
4	0.63	1.00, 0.500	0.010050	0.000565	0.00	-172.73	87.28	173.53	--	--
5	0.84	1.00, 0.500	0.010050	0.000565	0.00	-172.73	52.31	173.53	--	--
6	1.05	1.00, 0.500	0.010050	0.000565	0.00	-172.73	36.21	173.53	--	--
7	1.26	1.00, 0.500	0.010050	0.000565	0.00	-172.73	27.21	173.53	--	--
8	1.47	1.00, 0.500	0.010050	0.000565	0.00	-172.73	21.62	173.53	--	--
9	1.68	1.00, 0.500	0.010050	0.000565	0.00	-172.73	17.87	173.53	--	--
10	1.89	1.00, 0.500	0.010050	0.000565	0.00	-172.73	15.25	173.53	--	--
11	2.10	1.00, 0.500	0.010050	0.000565	0.00	-172.73	13.35	173.53	--	--

COMBINAZIONE n° 3

PV_D_SR_AP_CA_3_F_001-001_0_005_R_A_0

Cavalcavia Sv. Riese CA.3F.01 – Relazione di calcolo muri in attacco alla spalla SP2

Valore della spinta statica	40.3812	[kN]		
Componente orizzontale della spinta statica	38.0402	[kN]		
Componente verticale della spinta statica	13.5493	[kN]		
Punto d'applicazione della spinta	X = 2.10	[m]	Y = -2.27	[m]
Inclinaz. della spinta rispetto alla normale alla superficie	19.61	[°]		
Inclinazione linea di rottura in condizioni statiche	56.17	[°]		
Peso terrapieno gravante sulla fondazione a monte	102.2700	[kN]		
Baricentro terrapieno gravante sulla fondazione a monte	X = 1.05	[m]	Y = -1.50	[m]
Numero contrafforti	8			
Peso del singolo contrafforte	4.0500	[kN]		
Peso del contrafforte riferito ad un metro di muro	3.3750	[kN]		
Baricentro contrafforte	X = 0.15	[m]	Y = -1.50	[m]

Risultanti

Risultante dei carichi applicati in dir. orizzontale	38.0402	[kN]
Risultante dei carichi applicati in dir. verticale	161.7193	[kN]
Resistenza passiva a valle del muro	-19.1568	[kN]
Momento ribaltante rispetto allo spigolo a valle	46.9099	[kNm]
Momento stabilizzante rispetto allo spigolo a valle	253.9286	[kNm]
Sforzo normale sul piano di posa della fondazione	161.7193	[kN]
Sforzo tangenziale sul piano di posa della fondazione	38.0402	[kN]
Eccentricità rispetto al baricentro della fondazione	0.07	[m]
Lunghezza fondazione reagente	2.70	[m]
Risultante in fondazione	166.1330	[kN]
Inclinazione della risultante (rispetto alla normale)	13.24	[°]
Momento rispetto al baricentro della fondazione	11.3024	[kNm]

COEFFICIENTI DI SICUREZZA

Coefficiente di sicurezza a ribaltamento 5.41

Stabilità globale muro + terrenoCombinazione n° 4

Le ascisse X sono considerate positive verso monte

Le ordinate Y sono considerate positive verso l'alto

Origine in testa al muro (spigolo contro terra)

W peso della striscia espresso in [kN]

α angolo fra la base della striscia e l'orizzontale espresso in [°] (positivo antiorario)

ϕ angolo d'attrito del terreno lungo la base della striscia

c coesione del terreno lungo la base della striscia espressa in [MPa]

b larghezza della striscia espressa in [m]

u pressione neutra lungo la base della striscia espressa in [MPa]

Metodo di Bishop

Numero di cerchi analizzati 36

Numero di strisce 25

Cerchio critico

Coordinate del centro X[m]= 0.00 Y[m]= 1.55

Raggio del cerchio R[m]= 5.47

Ascissa a valle del cerchio Xi[m]= -3.79

Ascissa a monte del cerchio Xs[m]= 5.25

Larghezza della striscia dx[m]= 0.36

Coefficiente di sicurezza C= 2.61

Le strisce sono numerate da monte verso valle

Caratteristiche delle strisce

Striscia	W	α (°)	Wsin α	b/cos α	ϕ	c	u
1	444.88	67.98	412.42	0.97	30.17	0.000	0.000
2	947.77	59.69	818.19	0.72	30.17	0.000	0.000

PV_D_SR_AP_CA_3_F_001-001_0_005_R_A_0

Cavalcavia Sv. Rlese CA.3F.01 – Relazione di calcolo muri in attacco alla spalla SP2

3	1311.77	52.79	1044.75	0.60	30.17	0.000	0.000
4	1598.52	46.88	1166.80	0.53	30.17	0.000	0.000
5	1833.56	41.57	1216.64	0.48	30.17	0.000	0.000
6	2029.72	36.67	1212.19	0.45	30.17	0.000	0.000
7	2194.58	32.07	1165.19	0.43	30.17	0.000	0.000
8	2333.01	27.69	1084.11	0.41	30.17	0.000	0.000
9	2485.54	23.48	990.34	0.39	31.15	0.000	0.000
10	2678.80	19.40	889.91	0.38	33.87	0.000	0.000
11	2669.00	15.43	709.90	0.38	33.87	0.000	0.000
12	2677.29	11.52	534.82	0.37	33.87	0.000	0.000
13	2721.99	7.67	363.50	0.37	33.87	0.000	0.000
14	2748.69	3.86	185.06	0.36	33.87	0.000	0.000
15	2633.96	0.06	2.93	0.36	33.87	0.000	0.000
16	1148.72	-3.73	-74.78	0.36	33.87	0.000	0.000
17	1023.98	-7.55	-134.46	0.37	33.87	0.000	0.000
18	958.44	-11.39	-189.32	0.37	33.87	0.000	0.000
19	894.99	-15.29	-236.06	0.38	33.87	0.000	0.000
20	811.76	-19.27	-267.86	0.38	33.87	0.000	0.000
21	710.26	-23.34	-281.41	0.39	31.27	0.000	0.000
22	595.15	-27.55	-275.23	0.41	30.17	0.000	0.000
23	457.55	-31.92	-241.91	0.43	30.17	0.000	0.000
24	293.65	-36.51	-174.72	0.45	30.17	0.000	0.000
25	98.64	-41.40	-65.23	0.48	30.17	0.000	0.000

$\Sigma W_i = 375.6225$ [kN]

$\Sigma W_i \sin \alpha_i = 96.6535$ [kN]

$\Sigma W_i \tan \phi_i = 237.5861$ [kN]

$\Sigma \tan \alpha_i \tan \phi_i = 3.84$

COMBINAZIONE n° 5**Peso muro favorevole e Peso terrapieno favorevole**

Valore della spinta statica	74.9711	[kN]		
Componente orizzontale della spinta statica	68.4896	[kN]		
Componente verticale della spinta statica	30.4935	[kN]		
Punto d'applicazione della spinta	X = 2.10	[m]	Y = -2.01	[m]
Inclinaz. della spinta rispetto alla normale alla superficie	24.00	[°]		
Inclinazione linea di rottura in condizioni statiche	59.53	[°]		
Peso terrapieno gravante sulla fondazione a monte	140.8740	[kN]		
Baricentro terrapieno gravante sulla fondazione a monte	X = 1.05	[m]	Y = -1.50	[m]
Numero contrafforti	8			
Peso del singolo contrafforte	4.5000	[kN]		
Peso del contrafforte riferito ad un metro di muro	3.7500	[kN]		
Baricentro contrafforte	X = 0.15	[m]	Y = -1.50	[m]

Risultanti carichi esterni

Componente dir. X 23.49 [kN]

Risultanti

Risultante dei carichi applicati in dir. orizzontale	91.9796	[kN]
Risultante dei carichi applicati in dir. verticale	222.3675	[kN]
Resistenza passiva a valle del muro	-27.8234	[kN]
Sforzo normale sul piano di posa della fondazione	222.3675	[kN]
Sforzo tangenziale sul piano di posa della fondazione	91.9796	[kN]
Eccentricità rispetto al baricentro della fondazione	0.64	[m]
Lunghezza fondazione reagente	2.14	[m]
Risultante in fondazione	240.6399	[kN]
Inclinazione della risultante (rispetto alla normale)	22.47	[°]
Momento rispetto al baricentro della fondazione	141.7668	[kNm]
Carico ultimo della fondazione	1715.3478	[kN]

PV_D_SR_AP_CA_3_F_001-001_0_005_R_A_0

Cavalcavia Sv. Rlese CA.3F.01 – Relazione di calcolo muri in attacco alla spalla SP2Tensioni sul terreno

Lunghezza fondazione reagente	2.14	[m]
Tensione terreno allo spigolo di valle	0.20807	[MPa]
Tensione terreno allo spigolo di monte	0.00000	[MPa]

Fattori per il calcolo della capacità portante

Coeff. capacità portante	$N_c = 75.31$	$N_q = 64.20$	$N_\gamma = 109.41$
Fattori forma	$s_c = 1.00$	$s_q = 1.00$	$s_\gamma = 1.00$
Fattori inclinazione	$i_c = 0.38$	$i_q = 0.39$	$i_\gamma = 0.23$
Fattori profondità	$d_c = 1.16$	$d_q = 1.09$	$d_\gamma = 1.00$
Fattori inclinazione piano posa	$b_c = 1.00$	$b_q = 1.00$	$b_\gamma = 1.00$
Fattori inclinazione pendio	$g_c = 1.00$	$g_q = 1.00$	$g_\gamma = 1.00$
I coefficienti N' tengono conto dei fattori di forma, profondità, inclinazione carico, inclinazione piano di posa, inclinazione pendio.			
	$N'_c = 59.46$	$N'_q = 47.73$	$N'_\gamma = 60.45$

COEFFICIENTI DI SICUREZZA

Coefficiente di sicurezza a scorrimento	2.33
Coefficiente di sicurezza a carico ultimo	7.71

Sollecitazioni fondazione di valleCombinazione n° 5

L'ascissa X(espressa in m) è considerata positiva verso monte con origine in corrispondenza dell'estremo libero della fondazione di valle

Momento positivo se tende le fibre inferiori, espresso in kNm

Taglio positivo se diretto verso l'alto, espresso in kN

Nr.	X	M	T
1	0.00	0.0000	0.0000
2	0.05	0.2229	8.8770
3	0.10	0.8836	17.5106
4	0.15	1.9699	25.9008
5	0.20	3.4697	34.0476
6	0.25	5.3706	41.9511
7	0.30	7.6607	49.6112
8	0.35	10.3277	57.0280
9	0.40	13.3595	64.2013
10	0.45	16.7438	71.1313
11	0.50	20.4685	77.8179

Sollecitazioni fondazione di monteCombinazione n° 5

L'ascissa X(espressa in m) è considerata positiva verso valle con origine in corrispondenza dell'estremo libero della fondazione di monte

Momento positivo se tende le fibre inferiori, espresso in kNm

Taglio positivo se diretto verso l'alto, espresso in kN

Nr.	X	M	T
1	0.00	0.0000	0.0000
2	0.21	-2.9324	-27.9279
3	0.42	-11.7297	-55.8558
4	0.63	-26.3643	-82.0539
5	0.84	-45.1242	-95.8965
6	1.05	-66.3403	-105.4460
7	1.26	-89.1110	-110.7025
8	1.47	-112.5348	-111.6659
9	1.68	-135.7102	-108.3362
10	1.89	-157.7355	-100.7134
11	2.10	-177.7093	-88.7975

PV_D_SR_AP_CA_3_F_001-001_0_005_R_A_0

Armature e tensioni nei materiali della fondazione

Combinazione n° 5

Simbologia adottata

B	base della sezione espressa in [m]
H	altezza della sezione espressa in [m]
A _{fi}	area di armatura in corrispondenza del lembo inferiore in [mq]
A _{fs}	area di armatura in corrispondenza del lembo superiore in [mq]
N _u	sforzo normale ultimo espresso in [kN]
M _u	momento ultimo espresso in [kNm]
CS	coefficiente sicurezza sezione
VRcd	Aliquota di taglio assorbito dal cls, espresso in [kN]
VRsd	Aliquota di taglio assorbito dall'armatura, espresso in [kN]
VRd	Resistenza al taglio, espresso in [kN]

Fondazione di valle

(L'ascissa X, espressa in [m], è positiva verso monte con origine in corrispondenza dell'estremo libero della fondazione di valle)

Nr.	Y	B, H	A _{fs}	A _{fi}	N _u	M _u	CS	V _{Rd}	V _{Rcd}	V _{Rsd}
1	0.00	1.00, 0.500	0.000000	0.000565	0.00	0.00	1000.00	173.53	--	--
2	0.05	1.00, 0.500	0.000000	0.000565	0.00	98.61	442.31	173.53	--	--
3	0.10	1.00, 0.500	0.010050	0.000565	0.00	98.55	111.53	173.53	--	--
4	0.15	1.00, 0.500	0.010050	0.000565	0.00	98.55	50.03	173.53	--	--
5	0.20	1.00, 0.500	0.010050	0.000565	0.00	98.55	28.40	173.53	--	--
6	0.25	1.00, 0.500	0.010050	0.000565	0.00	98.55	18.35	173.53	--	--
7	0.30	1.00, 0.500	0.010050	0.000565	0.00	98.55	12.86	173.53	--	--
8	0.35	1.00, 0.500	0.010050	0.000565	0.00	98.55	9.54	173.53	--	--
9	0.40	1.00, 0.500	0.010050	0.000565	0.00	98.55	7.38	173.53	--	--
10	0.45	1.00, 0.500	0.010050	0.000565	0.00	98.55	5.89	173.53	--	--
11	0.50	1.00, 0.500	0.010050	0.000565	0.00	98.55	4.81	173.53	--	--

Fondazione di monte

(L'ascissa X, espressa in [m], è positiva verso valle con origine in corrispondenza dell'estremo libero della fondazione di monte)

Nr.	Y	B, H	A _{fs}	A _{fi}	N _u	M _u	CS	V _{Rd}	V _{Rcd}	V _{Rsd}
1	0.00	1.00, 0.500	0.000000	0.000565	0.00	0.00	1000.00	173.53	--	--
2	0.21	1.00, 0.500	0.010050	0.000565	0.00	-172.73	58.90	173.53	--	--
3	0.42	1.00, 0.500	0.010050	0.000565	0.00	-172.73	14.73	173.53	--	--
4	0.63	1.00, 0.500	0.010050	0.000565	0.00	-172.73	6.55	173.53	--	--
5	0.84	1.00, 0.500	0.010050	0.000565	0.00	-172.73	3.83	173.53	--	--
6	1.05	1.00, 0.500	0.010050	0.000565	0.00	-172.73	2.60	173.53	--	--
7	1.26	1.00, 0.500	0.010050	0.000565	0.00	-172.73	1.94	173.53	--	--
8	1.47	1.00, 0.500	0.010050	0.000565	0.00	-172.73	1.53	173.53	--	--
9	1.68	1.00, 0.500	0.010050	0.000565	0.00	-172.73	1.27	173.53	--	--
10	1.89	1.00, 0.500	0.010050	0.000565	0.00	-172.73	1.10	173.53	--	--
11	2.10	1.00, 0.500	0.010050	0.000565	0.00	-172.73	1.00	173.53	--	--

COMBINAZIONE n° 6

Valore della spinta statica	77.1388	[kN]		
Componente orizzontale della spinta statica	72.6669	[kN]		
Componente verticale della spinta statica	25.8827	[kN]		
Punto d'applicazione della spinta	X = 2.10	[m]	Y = -2.00	[m]
Inclinaz. della spinta rispetto alla normale alla superficie	19.61	[°]		
Inclinazione linea di rottura in condizioni statiche	56.17	[°]		
Peso terrapieno gravante sulla fondazione a monte	136.5468	[kN]		
Baricentro terrapieno gravante sulla fondazione a monte	X = 1.05	[m]	Y = -1.50	[m]
Numero contrafforti	8			
Peso del singolo contrafforte	4.5000	[kN]		

PV_D_SR_AP_CA_3_F_001-001_0_005_R_A_0

Cavalcavia Sv. Rlese CA.3F.01 – Relazione di calcolo muri in attacco alla spalla SP2

Peso del contrafforte riferito ad un metro di muro	3.7500	[kN]		
Baricentro contrafforte	X = 0.15	[m]	Y = -1.50	[m]

Risultanti carichi esterni

Componente dir. X	20.36	[kN]		
-------------------	-------	------	--	--

Risultanti

Risultante dei carichi applicati in dir. orizzontale	93.0249	[kN]		
Risultante dei carichi applicati in dir. verticale	213.4295	[kN]		
Resistenza passiva a valle del muro	-21.2853	[kN]		
Sforzo normale sul piano di posa della fondazione	213.4295	[kN]		
Sforzo tangenziale sul piano di posa della fondazione	93.0249	[kN]		
Eccentricità rispetto al baricentro della fondazione	0.67	[m]		
Lunghezza fondazione reagente	2.05	[m]		
Risultante in fondazione	232.8214	[kN]		
Inclinazione della risultante (rispetto alla normale)	23.55	[°]		
Momento rispetto al baricentro della fondazione	142.1712	[kNm]		
Carico ultimo della fondazione	616.3184	[kN]		

Tensioni sul terreno

Lunghezza fondazione reagente	2.05	[m]		
Tensione terreno allo spigolo di valle	0.20806	[MPa]		
Tensione terreno allo spigolo di monte	0.00000	[MPa]		

Fattori per il calcolo della capacità portante

Coeff. capacità portante	$N_c = 75.31$	$N_q = 64.20$	$N_\gamma = 109.41$
Fattori forma	$s_c = 1.00$	$s_q = 1.00$	$s_\gamma = 1.00$
Fattori inclinazione	$i_c = 0.34$	$i_q = 0.36$	$i_\gamma = 0.20$
Fattori profondità	$d_c = 1.16$	$d_q = 1.11$	$d_\gamma = 1.00$
Fattori inclinazione piano posa	$b_c = 1.00$	$b_q = 1.00$	$b_\gamma = 1.00$
Fattori inclinazione pendio	$g_c = 1.00$	$g_q = 1.00$	$g_\gamma = 1.00$

I coefficienti N' tengono conto dei fattori di forma, profondità, inclinazione carico, inclinazione piano di posa, inclinazione pendio.

$N'_c = 59.46$	$N'_q = 47.73$	$N'_\gamma = 60.45$
----------------	----------------	---------------------

COEFFICIENTI DI SICUREZZA

Coefficiente di sicurezza a scorrimento	1.77
Coefficiente di sicurezza a carico ultimo	2.89

Sollecitazioni fondazione di valleCombinazione n° 6

L'ascissa X(espressa in m) è considerata positiva verso monte con origine in corrispondenza dell'estremo libero della fondazione di valle

Momento positivo se tende le fibre inferiori, espresso in kNm

Taglio positivo se diretto verso l'alto, espresso in kN

Nr.	X	M	T
1	0.00	0.0000	0.0000
2	0.05	0.2273	9.0512
3	0.10	0.9009	17.8489
4	0.15	2.0080	26.3931
5	0.20	3.5360	34.6837
6	0.25	5.4721	42.7208
7	0.30	7.8038	50.5044
8	0.35	10.5184	58.0344
9	0.40	13.6030	65.3109
10	0.45	17.0452	72.3339
11	0.50	20.8322	79.1033

Sollecitazioni fondazione di monte

PV_D_SR_AP_CA_3_F_001-_001_0_005_R_A_0

Cavalcavia Sv. Riese CA.3F.01 – Relazione di calcolo muri in attacco alla spalla SP2Combinazione n° 6

L'ascissa X(espressa in m) è considerata positiva verso valle con origine in corrispondenza dell'estremo libero della fondazione di monte

Momento positivo se tende le fibre inferiori, espresso in kNm

Taglio positivo se diretto verso l'alto, espresso in kN

Nr.	X	M	T
1	0.00	0.0000	0.0000
2	0.21	-2.4162	-23.0114
3	0.42	-9.6648	-46.0228
4	0.63	-21.7264	-67.7418
5	0.84	-37.2996	-79.8450
6	1.05	-54.9483	-87.4930
7	1.26	-73.7336	-90.6688
8	1.47	-92.7161	-89.3722
9	1.68	-110.9568	-83.6034
10	1.89	-127.5165	-73.3623
11	2.10	-141.4559	-58.6489

Armature e tensioni nei materiali della fondazioneCombinazione n° 6

Simbologia adottata

B	base della sezione espressa in [m]
H	altezza della sezione espressa in [m]
A _{fi}	area di armatura in corrispondenza del lembo inferiore in [mq]
A _{fs}	area di armatura in corrispondenza del lembo superiore in [mq]
N _u	sforzo normale ultimo espresso in [kN]
M _u	momento ultimo espresso in [kNm]
CS	coefficiente sicurezza sezione
V _{Rcd}	Aliquota di taglio assorbito dal cls, espresso in [kN]
V _{Rsd}	Aliquota di taglio assorbito dall'armatura, espresso in [kN]
VRd	Resistenza al taglio, espresso in [kN]

Fondazione di valle

(L'ascissa X, espressa in [m], è positiva verso monte con origine in corrispondenza dell'estremo libero della fondazione di valle)

Nr.	Y	B, H	A _{fs}	A _{fi}	N _u	M _u	CS	V _{Rd}	V _{Rcd}	V _{Rsd}
1	0.00	1.00, 0.500	0.0000000	0.000565	0.00	0.00	1000.00	173.53	--	--
2	0.05	1.00, 0.500	0.0000000	0.000565	0.00	98.61	433.76	173.53	--	--
3	0.10	1.00, 0.500	0.0010050	0.000565	0.00	98.55	109.40	173.53	--	--
4	0.15	1.00, 0.500	0.0010050	0.000565	0.00	98.55	49.08	173.53	--	--
5	0.20	1.00, 0.500	0.0010050	0.000565	0.00	98.55	27.87	173.53	--	--
6	0.25	1.00, 0.500	0.0010050	0.000565	0.00	98.55	18.01	173.53	--	--
7	0.30	1.00, 0.500	0.0010050	0.000565	0.00	98.55	12.63	173.53	--	--
8	0.35	1.00, 0.500	0.0010050	0.000565	0.00	98.55	9.37	173.53	--	--
9	0.40	1.00, 0.500	0.0010050	0.000565	0.00	98.55	7.25	173.53	--	--
10	0.45	1.00, 0.500	0.0010050	0.000565	0.00	98.55	5.78	173.53	--	--
11	0.50	1.00, 0.500	0.0010050	0.000565	0.00	98.55	4.73	173.53	--	--

Fondazione di monte

(L'ascissa X, espressa in [m], è positiva verso valle con origine in corrispondenza dell'estremo libero della fondazione di monte)

Nr.	Y	B, H	A _{fs}	A _{fi}	N _u	M _u	CS	V _{Rd}	V _{Rcd}	V _{Rsd}
1	0.00	1.00, 0.500	0.0000000	0.000565	0.00	0.00	1000.00	173.53	--	--
2	0.21	1.00, 0.500	0.0010050	0.000565	0.00	-172.73	71.49	173.53	--	--
3	0.42	1.00, 0.500	0.0010050	0.000565	0.00	-172.73	17.87	173.53	--	--
4	0.63	1.00, 0.500	0.0010050	0.000565	0.00	-172.73	7.95	173.53	--	--
5	0.84	1.00, 0.500	0.0010050	0.000565	0.00	-172.73	4.63	173.53	--	--
6	1.05	1.00, 0.500	0.0010050	0.000565	0.00	-172.73	3.14	173.53	--	--
7	1.26	1.00, 0.500	0.0010050	0.000565	0.00	-172.73	2.34	173.53	--	--

PV_D_SR_AP_CA_3_F_001-001_0_005_R_A_0

Cavalcavia Sv. Riese CA.3F.01 – Relazione di calcolo muri in attacco alla spalla SP2

8	1.47	1.00, 0.500.0010050.000565	0.00	-172.73	1.86	173.53	--	--
9	1.68	1.00, 0.500.0010050.000565	0.00	-172.73	1.56	173.53	--	--
10	1.89	1.00, 0.500.0010050.000565	0.00	-172.73	1.35	173.53	--	--
11	2.10	1.00, 0.500.0010050.000565	0.00	-172.73	1.22	173.53	--	--

COMBINAZIONE n° 7

Valore della spinta statica	87.0296	[kN]		
Componente orizzontale della spinta statica	81.9844	[kN]		
Componente verticale della spinta statica	29.2014	[kN]		
Punto d'applicazione della spinta	X = 2.10	[m]	Y = -1.99	[m]
Inclinaz. della spinta rispetto alla normale alla superficie	19.61	[°]		
Inclinazione linea di rottura in condizioni statiche	56.17	[°]		

Peso terrapieno gravante sulla fondazione a monte	129.3240	[kN]		
Baricentro terrapieno gravante sulla fondazione a monte	X = 1.05	[m]	Y = -1.50	[m]
Numero contrafforti	8			
Peso del singolo contrafforte	4.0500	[kN]		
Peso del contrafforte riferito ad un metro di muro	3.3750	[kN]		
Baricentro contrafforte	X = 0.15	[m]	Y = -1.50	[m]

Risultanti carichi esterni

Componente dir. X	23.49	[kN]
-------------------	-------	------

Risultanti

Risultante dei carichi applicati in dir. orizzontale	105.4744	[kN]
Risultante dei carichi applicati in dir. verticale	204.4254	[kN]
Resistenza passiva a valle del muro	-19.1568	[kN]
Momento ribaltante rispetto allo spigolo a valle	232.1964	[kNm]
Momento stabilizzante rispetto allo spigolo a valle	340.8285	[kNm]
Sforzo normale sul piano di posa della fondazione	204.4254	[kN]
Sforzo tangenziale sul piano di posa della fondazione	105.4744	[kN]
Eccentricità rispetto al baricentro della fondazione	0.82	[m]
Lunghezza fondazione reagente	1.59	[m]
Risultante in fondazione	230.0317	[kN]
Inclinazione della risultante (rispetto alla normale)	27.29	[°]
Momento rispetto al baricentro della fondazione	167.3422	[kNm]

COEFFICIENTI DI SICUREZZA

Coefficiente di sicurezza a ribaltamento	1.47
--	------

Stabilità globale muro + terrenoCombinazione n° 8

Le ascisse X sono considerate positive verso monte

Le ordinate Y sono considerate positive verso l'alto

Origine in testa al muro (spigolo contro terra)

W	peso della striscia espresso in [kN]
α	angolo fra la base della striscia e l'orizzontale espresso in [°] (positivo antiorario)
ϕ	angolo d'attrito del terreno lungo la base della striscia
c	coesione del terreno lungo la base della striscia espressa in [MPa]
b	larghezza della striscia espressa in [m]
u	pressione neutra lungo la base della striscia espressa in [MPa]

Metodo di Bishop

Numero di cerchi analizzati	36
Numero di strisce	25

Cerchio critico

Coordinate del centro	X[m]= 0.00	Y[m]= 0.93
Raggio del cerchio	R[m]= 4.90	
Ascissa a valle del cerchio	Xi[m]= -3.61	

PV_D_SR_AP_CA_3_F_001-_001_0_005_R_A_0

Cavalcavia Sv. Riese CA.3F.01 – Relazione di calcolo muri in attacco alla spalla SP2

Ascissa a monte del cerchio $X_s[m]= 4.82$
 Larghezza della striscia $dx[m]= 0.34$
 Coefficiente di sicurezza $C= 1.87$
 Le strisce sono numerate da monte verso valle

Caratteristiche delle strisce

Striscia	W	$\alpha(^{\circ})$	$W\sin\alpha$	$b/\cos\alpha$	ϕ	c	u
1	1290.03	72.18	1228.13	1.10	30.17	0.000	0.000
2	2326.71	61.99	2054.21	0.72	30.17	0.000	0.000
3	2668.71	54.40	2170.06	0.58	30.17	0.000	0.000
4	2930.67	48.07	2180.22	0.50	30.17	0.000	0.000
5	3142.30	42.45	2120.73	0.46	30.17	0.000	0.000
6	3317.24	37.30	2010.08	0.42	30.17	0.000	0.000
7	3463.17	32.48	1859.89	0.40	30.17	0.000	0.000
8	3584.90	27.92	1678.36	0.38	30.17	0.000	0.000
9	3800.80	23.54	1517.73	0.37	33.57	0.000	0.000
10	3682.24	19.30	1216.89	0.36	33.87	0.000	0.000
11	2489.39	15.17	651.33	0.35	33.87	0.000	0.000
12	2542.97	11.12	490.31	0.34	33.87	0.000	0.000
13	2579.81	7.12	319.86	0.34	33.87	0.000	0.000
14	2600.47	3.16	143.45	0.34	33.87	0.000	0.000
15	2211.47	-0.78	-30.21	0.34	33.87	0.000	0.000
16	1102.63	-4.73	-90.95	0.34	33.87	0.000	0.000
17	973.93	-8.70	-147.36	0.34	33.87	0.000	0.000
18	921.05	-12.72	-202.75	0.35	33.87	0.000	0.000
19	859.88	-16.80	-248.48	0.35	33.87	0.000	0.000
20	780.45	-20.97	-279.25	0.36	33.87	0.000	0.000
21	682.67	-25.26	-291.26	0.37	32.04	0.000	0.000
22	572.51	-29.70	-283.69	0.39	30.17	0.000	0.000
23	441.63	-34.36	-249.25	0.41	30.17	0.000	0.000
24	284.88	-39.29	-180.42	0.44	30.17	0.000	0.000
25	96.53	-44.61	-67.79	0.47	30.17	0.000	0.000

$\Sigma W_i= 483.9368$ [kN]

$\Sigma W_i\sin\alpha_i= 172.3042$ [kN]

$\Sigma W_i\tan\phi_i= 302.9705$ [kN]

$\Sigma\tan\alpha_i\tan\phi_i= 4.12$

COMBINAZIONE n° 9**Peso muro favorevole e Peso terrapieno favorevole**

Valore della spinta statica	65.9124	[kN]		
Componente orizzontale della spinta statica	60.2139	[kN]		
Componente verticale della spinta statica	26.8090	[kN]		
Punto d'applicazione della spinta	X = 2.10	[m]	Y = -2.05	[m]
Inclinaz. della spinta rispetto alla normale alla superficie	24.00	[°]		
Inclinazione linea di rottura in condizioni statiche	59.53	[°]		
Peso terrapieno gravante sulla fondazione a monte	134.2608	[kN]		
Baricentro terrapieno gravante sulla fondazione a monte	X = 1.05	[m]	Y = -1.50	[m]
Numero contrafforti	8			
Peso del singolo contrafforte	4.5000	[kN]		
Peso del contrafforte riferito ad un metro di muro	3.7500	[kN]		
Baricentro contrafforte	X = 0.15	[m]	Y = -1.50	[m]

Risultanti carichi esterni

Componente dir. X 20.21 [kN]

Risultanti

PV_D_SR_AP_CA_3_F_001-_001_0_005_R_A_0

Cavalcavia Sv. Riese CA.3F.01 – Relazione di calcolo muri in attacco alla spalla SP2

Risultante dei carichi applicati in dir. orizzontale	80.4219	[kN]
Risultante dei carichi applicati in dir. verticale	212.0698	[kN]
Resistenza passiva a valle del muro	-27.8234	[kN]
Sforzo normale sul piano di posa della fondazione	212.0698	[kN]
Sforzo tangenziale sul piano di posa della fondazione	80.4219	[kN]
Eccentricità rispetto al baricentro della fondazione	0.57	[m]
Lunghezza fondazione reagente	2.33	[m]
Risultante in fondazione	226.8067	[kN]
Inclinazione della risultante (rispetto alla normale)	20.77	[°]
Momento rispetto al baricentro della fondazione	121.2775	[kNm]
Carico ultimo della fondazione	2141.3547	[kN]

Tensioni sul terreno

Lunghezza fondazione reagente	2.33	[m]
Tensione terreno allo spigolo di valle	0.18169	[MPa]
Tensione terreno allo spigolo di monte	0.00000	[MPa]

Fattori per il calcolo della capacità portante

Coeff. capacità portante	$N_c = 75.31$	$N_q = 64.20$	$N_\gamma = 109.41$
Fattori forma	$s_c = 1.00$	$s_q = 1.00$	$s_\gamma = 1.00$
Fattori inclinazione	$i_c = 0.42$	$i_q = 0.43$	$i_\gamma = 0.27$
Fattori profondità	$d_c = 1.16$	$d_q = 1.09$	$d_\gamma = 1.00$
Fattori inclinazione piano posa	$b_c = 1.00$	$b_q = 1.00$	$b_\gamma = 1.00$
Fattori inclinazione pendio	$g_c = 1.00$	$g_q = 1.00$	$g_\gamma = 1.00$
I coefficienti N' tengono conto dei fattori di forma, profondità, inclinazione carico, inclinazione piano di posa, inclinazione pendio.			
	$N'_c = 59.46$	$N'_q = 47.73$	$N'_\gamma = 60.45$

COEFFICIENTI DI SICUREZZA

Coefficiente di sicurezza a scorrimento	2.56
Coefficiente di sicurezza a carico ultimo	10.10

Sollecitazioni fondazione di valleCombinazione n° 9

L'ascissa X(espressa in m) è considerata positiva verso monte con origine in corrispondenza dell'estremo libero della fondazione di valle

Momento positivo se tende le fibre inferiori, espresso in kNm

Taglio positivo se diretto verso l'alto, espresso in kN

Nr.	X	M	T
1	0.00	0.0000	0.0000
2	0.05	0.1904	7.5824
3	0.10	0.7550	14.9701
4	0.15	1.6841	22.1633
5	0.20	2.9681	29.1619
6	0.25	4.5971	35.9660
7	0.30	6.5614	42.5754
8	0.35	8.8514	48.9903
9	0.40	11.4572	55.2105
10	0.45	14.3692	61.2362
11	0.50	17.5776	67.0673

Sollecitazioni fondazione di monteCombinazione n° 9

L'ascissa X(espressa in m) è considerata positiva verso valle con origine in corrispondenza dell'estremo libero della fondazione di monte

Momento positivo se tende le fibre inferiori, espresso in kNm

Taglio positivo se diretto verso l'alto, espresso in kN

Nr.	X	M	T
PV_D_SR_AP_CA_3_F_001-_001_0_005_R_A_0			

Cavalcavia Sv. Rlese CA.3F.01 – Relazione di calcolo muri in attacco alla spalla SP2

1	0.00	0.0000	0.0000
2	0.21	-2.6894	-25.6133
3	0.42	-10.7555	-51.1115
4	0.63	-23.9472	-72.9418
5	0.84	-40.5146	-84.2713
6	1.05	-59.1009	-92.1684
7	1.26	-78.9851	-96.6330
8	1.47	-99.4465	-97.6652
9	1.68	-119.7642	-95.2649
10	1.89	-139.2174	-89.4321
11	2.10	-157.0854	-80.1668

Armature e tensioni nei materiali della fondazioneCombinazione n° 9

Simbologia adottata

B	base della sezione espressa in [m]
H	altezza della sezione espressa in [m]
A _{fi}	area di armatura in corrispondenza del lembo inferiore in [mq]
A _{fs}	area di armatura in corrispondenza del lembo superiore in [mq]
N _u	sforzo normale ultimo espresso in [kN]
M _u	momento ultimo espresso in [kNm]
CS	coefficiente sicurezza sezione
VRcd	Aliquota di taglio assorbito dal cls, espresso in [kN]
VRsd	Aliquota di taglio assorbito dall'armatura, espresso in [kN]
VRd	Resistenza al taglio, espresso in [kN]

Fondazione di valle

(L'ascissa X, espressa in [m], è positiva verso monte con origine in corrispondenza dell'estremo libero della fondazione di valle)

Nr.	Y	B, H	A _{fs}	A _{fi}	N _u	M _u	CS	V _{Rd}	V _{Rcd}	V _{Rsd}
1	0.00	1.00, 0.500	0.000000	0.000565	0.00	0.00	1000.00	173.53	--	--
2	0.05	1.00, 0.500	0.000000	0.000565	0.00	98.61	517.99	173.53	--	--
3	0.10	1.00, 0.500	0.010050	0.000565	0.00	98.55	130.54	173.53	--	--
4	0.15	1.00, 0.500	0.010050	0.000565	0.00	98.55	58.52	173.53	--	--
5	0.20	1.00, 0.500	0.010050	0.000565	0.00	98.55	33.20	173.53	--	--
6	0.25	1.00, 0.500	0.010050	0.000565	0.00	98.55	21.44	173.53	--	--
7	0.30	1.00, 0.500	0.010050	0.000565	0.00	98.55	15.02	173.53	--	--
8	0.35	1.00, 0.500	0.010050	0.000565	0.00	98.55	11.13	173.53	--	--
9	0.40	1.00, 0.500	0.010050	0.000565	0.00	98.55	8.60	173.53	--	--
10	0.45	1.00, 0.500	0.010050	0.000565	0.00	98.55	6.86	173.53	--	--
11	0.50	1.00, 0.500	0.010050	0.000565	0.00	98.55	5.61	173.53	--	--

Fondazione di monte

(L'ascissa X, espressa in [m], è positiva verso valle con origine in corrispondenza dell'estremo libero della fondazione di monte)

Nr.	Y	B, H	A _{fs}	A _{fi}	N _u	M _u	CS	V _{Rd}	V _{Rcd}	V _{Rsd}
1	0.00	1.00, 0.500	0.000000	0.000565	0.00	0.00	1000.00	173.53	--	--
2	0.21	1.00, 0.500	0.010050	0.000565	0.00	-172.73	64.23	173.53	--	--
3	0.42	1.00, 0.500	0.010050	0.000565	0.00	-172.73	16.06	173.53	--	--
4	0.63	1.00, 0.500	0.010050	0.000565	0.00	-172.73	7.21	173.53	--	--
5	0.84	1.00, 0.500	0.010050	0.000565	0.00	-172.73	4.26	173.53	--	--
6	1.05	1.00, 0.500	0.010050	0.000565	0.00	-172.73	2.92	173.53	--	--
7	1.26	1.00, 0.500	0.010050	0.000565	0.00	-172.73	2.19	173.53	--	--
8	1.47	1.00, 0.500	0.010050	0.000565	0.00	-172.73	1.74	173.53	--	--
9	1.68	1.00, 0.500	0.010050	0.000565	0.00	-172.73	1.44	173.53	--	--
10	1.89	1.00, 0.500	0.010050	0.000565	0.00	-172.73	1.24	173.53	--	--
11	2.10	1.00, 0.500	0.010050	0.000565	0.00	-172.73	1.10	173.53	--	--

COMBINAZIONE n° 10

Cavalcavia Sv. Riese CA.3F.01 – Relazione di calcolo muri in attacco alla spalla SP2

Valore della spinta statica	67.2563	[kN]		
Componente orizzontale della spinta statica	63.3573	[kN]		
Componente verticale della spinta statica	22.5668	[kN]		
Punto d'applicazione della spinta	X = 2.10	[m]	Y = -2.03	[m]
Inclinaz. della spinta rispetto alla normale alla superficie	19.61	[°]		
Inclinazione linea di rottura in condizioni statiche	56.17	[°]		

Peso terrapieno gravante sulla fondazione a monte	130.8154	[kN]		
Baricentro terrapieno gravante sulla fondazione a monte	X = 1.05	[m]	Y = -1.50	[m]
Numero contrafforti	8			
Peso del singolo contrafforte	4.5000	[kN]		
Peso del contrafforte riferito ad un metro di muro	3.7500	[kN]		
Baricentro contrafforte	X = 0.15	[m]	Y = -1.50	[m]

Risultanti carichi esterni

Componente dir. X	17.51	[kN]		
-------------------	-------	------	--	--

Risultanti

Risultante dei carichi applicati in dir. orizzontale	80.8709	[kN]		
Risultante dei carichi applicati in dir. verticale	204.3821	[kN]		
Resistenza passiva a valle del muro	-21.2853	[kN]		
Sforzo normale sul piano di posa della fondazione	204.3821	[kN]		
Sforzo tangenziale sul piano di posa della fondazione	80.8709	[kN]		
Eccentricità rispetto al baricentro della fondazione	0.59	[m]		
Lunghezza fondazione reagente	2.28	[m]		
Risultante in fondazione	219.8003	[kN]		
Inclinazione della risultante (rispetto alla normale)	21.59	[°]		
Momento rispetto al baricentro della fondazione	120.8399	[kNm]		
Carico ultimo della fondazione	799.9301	[kN]		

Tensioni sul terreno

Lunghezza fondazione reagente	2.28	[m]		
Tensione terreno allo spigolo di valle	0.17958	[MPa]		
Tensione terreno allo spigolo di monte	0.00000	[MPa]		

Fattori per il calcolo della capacità portante

Coeff. capacità portante	$N_c = 75.31$	$N_q = 64.20$	$N_\gamma = 109.41$
Fattori forma	$s_c = 1.00$	$s_q = 1.00$	$s_\gamma = 1.00$
Fattori inclinazione	$i_c = 0.39$	$i_q = 0.41$	$i_\gamma = 0.25$
Fattori profondità	$d_c = 1.16$	$d_q = 1.11$	$d_\gamma = 1.00$
Fattori inclinazione piano posa	$b_c = 1.00$	$b_q = 1.00$	$b_\gamma = 1.00$
Fattori inclinazione pendio	$g_c = 1.00$	$g_q = 1.00$	$g_\gamma = 1.00$

I coefficienti N' tengono conto dei fattori di forma, profondità, inclinazione carico, inclinazione piano di posa, inclinazione pendio.

$N'_c = 59.46$	$N'_q = 47.73$	$N'_\gamma = 60.45$
----------------	----------------	---------------------

COEFFICIENTI DI SICUREZZA

Coefficiente di sicurezza a scorrimento	1.96
Coefficiente di sicurezza a carico ultimo	3.91

Sollecitazioni fondazione di valleCombinazione n° 10

L'ascissa X(espressa in m) è considerata positiva verso ascissa monte con origine in corrispondenza dell'estremo libero della fondazione di valle

Momento positivo se tende le fibre inferiori, espresso in kNm

Taglio positivo se diretto verso l'alto, espresso in kN

Nr.	X	M	T
1	0.00	0.0000	0.0000
2	0.05	0.1922	7.6552

PV_D_SR_AP_CA_3_F_001-_001_0_005_R_A_0

Cavalcavia Sv. Rlese CA.3F.01 – Relazione di calcolo muri in attacco alla spalla SP2

3	0.10	0.7622	15.1132
4	0.15	1.7002	22.3740
5	0.20	2.9963	29.4375
6	0.25	4.6407	36.3038
7	0.30	6.6234	42.9729
8	0.35	8.9347	49.4448
9	0.40	11.5646	55.7194
10	0.45	14.5034	61.7968
11	0.50	17.7410	67.6770

Sollecitazioni fondazione di monteCombinazione n° 10

L'ascissa X(espressa in m) è considerata positiva verso valle con origine in corrispondenza dell'estremo libero della fondazione di monte

Momento positivo se tende le fibre inferiori, espresso in kNm

Taglio positivo se diretto verso l'alto, espresso in kN

Nr.	X	M	T
1	0.00	0.0000	0.0000
2	0.21	-2.2056	-21.0054
3	0.42	-8.8223	-42.0108
4	0.63	-19.7196	-60.3321
5	0.84	-33.3751	-69.1404
6	1.05	-48.5150	-74.4695
7	1.26	-64.4088	-76.3196
8	1.47	-80.3257	-74.6905
9	1.68	-95.5353	-69.5824
10	1.89	-109.3068	-60.9952
11	2.10	-120.9097	-48.9289

Armature e tensioni nei materiali della fondazioneCombinazione n° 10

Simbologia adottata

B	base della sezione espressa in [m]
H	altezza della sezione espressa in [m]
A _{fi}	area di armatura in corrispondenza del lembo inferiore in [mq]
A _{fs}	area di armatura in corrispondenza del lembo superiore in [mq]
N _u	sforzo normale ultimo espresso in [kN]
M _u	momento ultimo espresso in [kNm]
CS	coefficiente sicurezza sezione
VRcd	Aliquota di taglio assorbito dal cls, espresso in [kN]
VRsd	Aliquota di taglio assorbito dall'armatura, espresso in [kN]
VRd	Resistenza al taglio, espresso in [kN]

Fondazione di valle

(L'ascissa X, espressa in [m], è positiva verso monte con origine in corrispondenza dell'estremo libero della fondazione di valle)

Nr.	Y	B, H	A _{fs}	A _{fi}	N _u	M _u	CS	V _{Rd}	V _{Rcd}	V _{Rsd}
1	0.00	1.00, 0.500	0.0000000	0.000565	0.00	0.00	1000.00	173.53	--	--
2	0.05	1.00, 0.500	0.0000000	0.000565	0.00	98.61	513.05	173.53	--	--
3	0.10	1.00, 0.500	0.0010050	0.000565	0.00	98.55	129.30	173.53	--	--
4	0.15	1.00, 0.500	0.0010050	0.000565	0.00	98.55	57.97	173.53	--	--
5	0.20	1.00, 0.500	0.0010050	0.000565	0.00	98.55	32.89	173.53	--	--
6	0.25	1.00, 0.500	0.0010050	0.000565	0.00	98.55	21.24	173.53	--	--
7	0.30	1.00, 0.500	0.0010050	0.000565	0.00	98.55	14.88	173.53	--	--
8	0.35	1.00, 0.500	0.0010050	0.000565	0.00	98.55	11.03	173.53	--	--
9	0.40	1.00, 0.500	0.0010050	0.000565	0.00	98.55	8.52	173.53	--	--
10	0.45	1.00, 0.500	0.0010050	0.000565	0.00	98.55	6.80	173.53	--	--
11	0.50	1.00, 0.500	0.0010050	0.000565	0.00	98.55	5.56	173.53	--	--

Fondazione di monte

PV_D_SR_AP_CA_3_F_001-_001_0_005_R_A_0

Cavalcavia Sv. Riese CA.3F.01 – Relazione di calcolo muri in attacco alla spalla SP2

(L'ascissa X, espressa in [m], è positiva verso valle con origine in corrispondenza dell'estremo libero della fondazione di monte)

Nr.	Y	B, H	A _{fs}	A _{fi}	N _u	M _u	CS	V _{Rd}	V _{Rcd}	V _{Rsd}
1	0.00	1.00, 0.500	0.000000	0.000565	0.00	0.00	1000.00	173.53	--	--
2	0.21	1.00, 0.500	0.010050	0.000565	0.00	-172.73	78.32	173.53	--	--
3	0.42	1.00, 0.500	0.010050	0.000565	0.00	-172.73	19.58	173.53	--	--
4	0.63	1.00, 0.500	0.010050	0.000565	0.00	-172.73	8.76	173.53	--	--
5	0.84	1.00, 0.500	0.010050	0.000565	0.00	-172.73	5.18	173.53	--	--
6	1.05	1.00, 0.500	0.010050	0.000565	0.00	-172.73	3.56	173.53	--	--
7	1.26	1.00, 0.500	0.010050	0.000565	0.00	-172.73	2.68	173.53	--	--
8	1.47	1.00, 0.500	0.010050	0.000565	0.00	-172.73	2.15	173.53	--	--
9	1.68	1.00, 0.500	0.010050	0.000565	0.00	-172.73	1.81	173.53	--	--
10	1.89	1.00, 0.500	0.010050	0.000565	0.00	-172.73	1.58	173.53	--	--
11	2.10	1.00, 0.500	0.010050	0.000565	0.00	-172.73	1.43	173.53	--	--

COMBINAZIONE n° 11

Valore della spinta statica	75.6267	[kN]		
Componente orizzontale della spinta statica	71.2425	[kN]		
Componente verticale della spinta statica	25.3754	[kN]		
Punto d'applicazione della spinta	X = 2.10	[m]	Y = -2.03	[m]
Inclinaz. della spinta rispetto alla normale alla superficie	19.61	[°]		
Inclinazione linea di rottura in condizioni statiche	56.17	[°]		

Peso terrapieno gravante sulla fondazione a monte	122.7108	[kN]		
Baricentro terrapieno gravante sulla fondazione a monte	X = 1.05	[m]	Y = -1.50	[m]
Numero contrafforti	8			
Peso del singolo contrafforte	4.0500	[kN]		
Peso del contrafforte riferito ad un metro di muro	3.3750	[kN]		
Baricentro contrafforte	X = 0.15	[m]	Y = -1.50	[m]

Risultanti carichi esterni

Componente dir. X	20.21	[kN]		
-------------------	-------	------	--	--

Risultanti

Risultante dei carichi applicati in dir. orizzontale	91.4505	[kN]		
Risultante dei carichi applicati in dir. verticale	193.9862	[kN]		
Resistenza passiva a valle del muro	-19.1568	[kN]		
Momento ribaltante rispetto allo spigolo a valle	200.4341	[kNm]		
Momento stabilizzante rispetto allo spigolo a valle	319.5863	[kNm]		
Sforzo normale sul piano di posa della fondazione	193.9862	[kN]		
Sforzo tangenziale sul piano di posa della fondazione	91.4505	[kN]		
Eccentricità rispetto al baricentro della fondazione	0.74	[m]		
Lunghezza fondazione reagente	1.84	[m]		
Risultante in fondazione	214.4617	[kN]		
Inclinazione della risultante (rispetto alla normale)	25.24	[°]		
Momento rispetto al baricentro della fondazione	142.7292	[kNm]		

COEFFICIENTI DI SICUREZZA

Coefficiente di sicurezza a ribaltamento	1.59			
--	------	--	--	--

Stabilità globale muro + terrenoCombinazione n° 12

Le ascisse X sono considerate positive verso monte

Le ordinate Y sono considerate positive verso l'alto

Origine in testa al muro (spigolo contro terra)

W peso della striscia espresso in [kN]

 α angolo fra la base della striscia e l'orizzontale espresso in [°] (positivo antiorario) ϕ angolo d'attrito del terreno lungo la base della striscia

c coesione del terreno lungo la base della striscia espressa in [MPa]

PV_D_SR_AP_CA_3_F_001-_001_0_005_R_A_0

Cavalcavia Sv. Riese CA.3F.01 – Relazione di calcolo muri in attacco alla spalla SP2

b larghezza della striscia espressa in [m]
 u pressione neutra lungo la base della striscia espressa in [MPa]

Metodo di Bishop

Numero di cerchi analizzati 36

Numero di strisce 25

Cerchio critico

Coordinate del centro X[m]= 0.00 Y[m]= 0.93

Raggio del cerchio R[m]= 4.90

Ascissa a valle del cerchio Xi[m]= -3.61

Ascissa a monte del cerchio Xs[m]= 4.82

Larghezza della striscia dx[m]= 0.34

Coefficiente di sicurezza C= 1.98

Le strisce sono numerate da monte verso valle

Caratteristiche delle strisce

Striscia	W	$\alpha(^{\circ})$	$W\sin\alpha$	$b/\cos\alpha$	ϕ	c	u
1	1087.66	72.18	1035.47	1.10	30.17	0.000	0.000
2	1998.25	61.99	1764.21	0.72	30.17	0.000	0.000
3	2340.24	54.40	1902.96	0.58	30.17	0.000	0.000
4	2602.21	48.07	1935.87	0.50	30.17	0.000	0.000
5	2813.83	42.45	1899.05	0.46	30.17	0.000	0.000
6	2988.77	37.30	1811.05	0.42	30.17	0.000	0.000
7	3134.70	32.48	1683.49	0.40	30.17	0.000	0.000
8	3256.43	27.92	1524.58	0.38	30.17	0.000	0.000
9	3472.33	23.54	1386.57	0.37	33.57	0.000	0.000
10	3401.96	19.30	1124.27	0.36	33.87	0.000	0.000
11	2489.39	15.17	651.33	0.35	33.87	0.000	0.000
12	2542.97	11.12	490.31	0.34	33.87	0.000	0.000
13	2579.81	7.12	319.86	0.34	33.87	0.000	0.000
14	2600.47	3.16	143.45	0.34	33.87	0.000	0.000
15	2211.47	-0.78	-30.21	0.34	33.87	0.000	0.000
16	1102.63	-4.73	-90.95	0.34	33.87	0.000	0.000
17	973.93	-8.70	-147.36	0.34	33.87	0.000	0.000
18	921.05	-12.72	-202.75	0.35	33.87	0.000	0.000
19	859.88	-16.80	-248.48	0.35	33.87	0.000	0.000
20	780.45	-20.97	-279.25	0.36	33.87	0.000	0.000
21	682.67	-25.26	-291.26	0.37	32.04	0.000	0.000
22	572.51	-29.70	-283.69	0.39	30.17	0.000	0.000
23	441.63	-34.36	-249.25	0.41	30.17	0.000	0.000
24	284.88	-39.29	-180.42	0.44	30.17	0.000	0.000
25	96.53	-44.61	-67.79	0.47	30.17	0.000	0.000

$\Sigma W_i = 453.4339$ [kN]

$\Sigma W_i \sin\alpha_i = 152.9967$ [kN]

$\Sigma W_i \tan\phi_i = 284.7281$ [kN]

$\Sigma \tan\alpha_i \tan\phi_i = 4.12$

COMBINAZIONE n° 13

Valore della spinta statica	29.1635	[kN]		
Componente orizzontale della spinta statica	26.6422	[kN]		
Componente verticale della spinta statica	11.8619	[kN]		
Punto d'applicazione della spinta	X = 2.10	[m]	Y = -2.27	[m]
Inclinaz. della spinta rispetto alla normale alla superficie	24.00	[°]		
Inclinazione linea di rottura in condizioni statiche	59.53	[°]		
Incremento sismico della spinta	6.8149	[kN]		
Punto d'applicazione dell'incremento sismico di spinta	X = 2.10	[m]	Y = -2.27	[m]

PV_D_SR_AP_CA_3_F_001-_001_0_005_R_A_0

Cavalcavia Sv. Riese CA.3F.01 – Relazione di calcolo muri in attacco alla spalla SP2

Inclinazione linea di rottura in condizioni sismiche	53.72	[°]		
Peso terrapieno gravante sulla fondazione a monte	113.1000	[kN]		
Baricentro terrapieno gravante sulla fondazione a monte	X = 1.05	[m]	Y = -1.50	[m]
Numero contrafforti	8			
Peso del singolo contrafforte	4.5000	[kN]		
Peso del contrafforte riferito ad un metro di muro	3.7500	[kN]		
Baricentro contrafforte	X = 0.15	[m]	Y = -1.50	[m]
Inerzia del muro	4.5375	[kN]		
Inerzia verticale del muro	-2.2687	[kN]		
Inerzia del terrapieno fondazione di monte	12.4410	[kN]		
Inerzia verticale del terrapieno fondazione di monte	-6.2205	[kN]		
Inerzia del singolo contrafforte	0.4950	[kN]		
Inerzia del contrafforte riferita ad un metro di muro	0.4125	[kN]		
Inerzia verticale del singolo contrafforte	-0.2475	[kN]		
Inerzia verticale del contrafforte riferita ad un metro di muro	-0.2062	[kN]		

Risultanti

Risultante dei carichi applicati in dir. orizzontale	50.9188	[kN]		
Risultante dei carichi applicati in dir. verticale	170.0382	[kN]		
Resistenza passiva a valle del muro	-27.8234	[kN]		
Sforzo normale sul piano di posa della fondazione	170.0382	[kN]		
Sforzo tangenziale sul piano di posa della fondazione	50.9188	[kN]		
Eccentricità rispetto al baricentro della fondazione	0.19	[m]		
Lunghezza fondazione reagente	2.70	[m]		
Risultante in fondazione	177.4985	[kN]		
Inclinazione della risultante (rispetto alla normale)	16.67	[°]		
Momento rispetto al baricentro della fondazione	31.9215	[kNm]		
Carico ultimo della fondazione	4257.3131	[kN]		

Tensioni sul terreno

Lunghezza fondazione reagente	2.70	[m]		
Tensione terreno allo spigolo di valle	0.08925	[MPa]		
Tensione terreno allo spigolo di monte	0.03670	[MPa]		

Fattori per il calcolo della capacità portante

Coeff. capacità portante	$N_c = 75.31$	$N_q = 64.20$	$N_\gamma = 109.41$
Fattori forma	$s_c = 1.00$	$s_q = 1.00$	$s_\gamma = 1.00$
Fattori inclinazione	$i_c = 0.52$	$i_q = 0.53$	$i_\gamma = 0.37$
Fattori profondità	$d_c = 1.16$	$d_q = 1.09$	$d_\gamma = 1.00$
Fattori inclinazione piano posa	$b_c = 1.00$	$b_q = 1.00$	$b_\gamma = 1.00$
Fattori inclinazione pendio	$g_c = 1.00$	$g_q = 1.00$	$g_\gamma = 1.00$

I coefficienti N' tengono conto dei fattori di forma, profondità, inclinazione carico, inclinazione piano di posa, inclinazione pendio.

$$N'_c = 59.46 \quad N'_q = 47.73 \quad N'_\gamma = 60.45$$

COEFFICIENTI DI SICUREZZA

Coefficiente di sicurezza a scorrimento	3.35
Coefficiente di sicurezza a carico ultimo	25.04

Sollecitazioni fondazione di valleCombinazione n° 13

L'ascissa X(espressa in m) è considerata positiva verso monte con origine in corrispondenza dell'estremo libero della fondazione di valle

Momento positivo se tende le fibre inferiori, espresso in kNm

Taglio positivo se diretto verso l'alto, espresso in kN

Nr.	X	M	T
1	0.00	0.0000	0.0000
2	0.05	0.0805	3.2132

PV_D_SR_AP_CA_3_F_001-_001_0_005_R_A_0

Cavalcavia Sv. Rlese CA.3F.01 – Relazione di calcolo muri in attacco alla spalla SP2

3	0.10	0.3205	6.3777
4	0.15	0.7175	9.4936
5	0.20	1.2691	12.5608
6	0.25	1.9728	15.5793
7	0.30	2.8262	18.5492
8	0.35	3.8269	21.4705
9	0.40	4.9724	24.3431
10	0.45	6.2604	27.1670
11	0.50	7.6883	29.9423

Sollecitazioni fondazione di monteCombinazione n° 13

L'ascissa X(espressa in m) è considerata positiva verso valle con origine in corrispondenza dell'estremo libero della fondazione di monte

Momento positivo se tende le fibre inferiori, espresso in kNm

Taglio positivo se diretto verso l'alto, espresso in kN

Nr.	X	M	T
1	0.00	0.0000	0.0000
2	0.21	-0.7152	-6.6680
3	0.42	-2.7405	-12.4777
4	0.63	-5.8939	-17.3092
5	0.84	-9.8855	-20.5624
6	1.05	-14.4701	-22.9574
7	1.26	-19.4675	-24.4942
8	1.47	-24.6975	-25.1727
9	1.68	-29.9799	-24.9929
10	1.89	-35.1345	-23.9549
11	2.10	-39.9809	-22.0587

Armature e tensioni nei materiali della fondazioneCombinazione n° 13

Simbologia adottata

B	base della sezione espressa in [m]
H	altezza della sezione espressa in [m]
A _{fi}	area di armatura in corrispondenza del lembo inferiore in [mq]
A _{fs}	area di armatura in corrispondenza del lembo superiore in [mq]
N _u	sforzo normale ultimo espresso in [kN]
M _u	momento ultimo espresso in [kNm]
CS	coefficiente sicurezza sezione
VRcd	Aliquota di taglio assorbito dal cls, espresso in [kN]
VRsd	Aliquota di taglio assorbito dall'armatura, espresso in [kN]
VRd	Resistenza al taglio, espresso in [kN]

Fondazione di valle

(L'ascissa X, espressa in [m], è positiva verso monte con origine in corrispondenza dell'estremo libero della fondazione di valle)

Nr.	Y	B, H	A _{fs}	A _{fi}	N _u	M _u	CS	V _{Rd}	V _{Rcd}	V _{Rsd}
1	0.00	1.00, 0.500	0.0000000	0.000565	0.00	0.00	1000.00	173.53	--	--
2	0.05	1.00, 0.500	0.0000000	0.000565	0.00	98.61	1224.47	173.53	--	--
3	0.10	1.00, 0.500	0.0010050	0.000565	0.00	98.55	307.50	173.53	--	--
4	0.15	1.00, 0.500	0.0010050	0.000565	0.00	98.55	137.36	173.53	--	--
5	0.20	1.00, 0.500	0.0010050	0.000565	0.00	98.55	77.66	173.53	--	--
6	0.25	1.00, 0.500	0.0010050	0.000565	0.00	98.55	49.96	173.53	--	--
7	0.30	1.00, 0.500	0.0010050	0.000565	0.00	98.55	34.87	173.53	--	--
8	0.35	1.00, 0.500	0.0010050	0.000565	0.00	98.55	25.75	173.53	--	--
9	0.40	1.00, 0.500	0.0010050	0.000565	0.00	98.55	19.82	173.53	--	--
10	0.45	1.00, 0.500	0.0010050	0.000565	0.00	98.55	15.74	173.53	--	--
11	0.50	1.00, 0.500	0.0010050	0.000565	0.00	98.55	12.82	173.53	--	--

Fondazione di monte

PV_D_SR_AP_CA_3_F_001-001_0_005_R_A_0

Cavalcavia Sv. Rlese CA.3F.01 – Relazione di calcolo muri in attacco alla spalla SP2

(L'ascissa X, espressa in [m], è positiva verso valle con origine in corrispondenza dell'estremo libero della fondazione di monte)

Nr.	Y	B, H	A _{fs}	A _{fi}	N _u	M _u	CS	V _{Rd}	V _{Rcd}	V _{Rsd}
1	0.00	1.00, 0.500	0.000000	0.000565	0.00	0.00	1000.00	173.53	--	--
2	0.21	1.00, 0.500	0.010050	0.000565	0.00	-172.73	241.53	173.53	--	--
3	0.42	1.00, 0.500	0.010050	0.000565	0.00	-172.73	63.03	173.53	--	--
4	0.63	1.00, 0.500	0.010050	0.000565	0.00	-172.73	29.31	173.53	--	--
5	0.84	1.00, 0.500	0.010050	0.000565	0.00	-172.73	17.47	173.53	--	--
6	1.05	1.00, 0.500	0.010050	0.000565	0.00	-172.73	11.94	173.53	--	--
7	1.26	1.00, 0.500	0.010050	0.000565	0.00	-172.73	8.87	173.53	--	--
8	1.47	1.00, 0.500	0.010050	0.000565	0.00	-172.73	6.99	173.53	--	--
9	1.68	1.00, 0.500	0.010050	0.000565	0.00	-172.73	5.76	173.53	--	--
10	1.89	1.00, 0.500	0.010050	0.000565	0.00	-172.73	4.92	173.53	--	--
11	2.10	1.00, 0.500	0.010050	0.000565	0.00	-172.73	4.32	173.53	--	--

COMBINAZIONE n° 14

Valore della spinta statica	29.1635	[kN]		
Componente orizzontale della spinta statica	26.6422	[kN]		
Componente verticale della spinta statica	11.8619	[kN]		
Punto d'applicazione della spinta	X = 2.10	[m]	Y = -2.27	[m]
Inclinaz. della spinta rispetto alla normale alla superficie	24.00	[°]		
Inclinazione linea di rottura in condizioni statiche	59.53	[°]		

Incremento sismico della spinta	9.9014	[kN]		
Punto d'applicazione dell'incremento sismico di spinta	X = 2.10	[m]	Y = -2.27	[m]
Inclinazione linea di rottura in condizioni sismiche	54.41	[°]		

Peso terrapieno gravante sulla fondazione a monte	113.1000	[kN]		
Baricentro terrapieno gravante sulla fondazione a monte	X = 1.05	[m]	Y = -1.50	[m]
Numero contrafforti	8			
Peso del singolo contrafforte	4.5000	[kN]		
Peso del contrafforte riferito ad un metro di muro	3.7500	[kN]		
Baricentro contrafforte	X = 0.15	[m]	Y = -1.50	[m]
Inerzia del muro	4.5375	[kN]		
Inerzia verticale del muro	2.2687	[kN]		
Inerzia del terrapieno fondazione di monte	12.4410	[kN]		
Inerzia verticale del terrapieno fondazione di monte	6.2205	[kN]		
Inerzia del singolo contrafforte	0.4950	[kN]		
Inerzia del contrafforte riferita ad un metro di muro	0.4125	[kN]		
Inerzia verticale del singolo contrafforte	0.2475	[kN]		
Inerzia verticale del contrafforte riferita ad un metro di muro	0.2062	[kN]		

Risultanti

Risultante dei carichi applicati in dir. orizzontale	53.7385	[kN]		
Risultante dei carichi applicati in dir. verticale	188.6846	[kN]		
Resistenza passiva a valle del muro	-27.8234	[kN]		
Sforzo normale sul piano di posa della fondazione	188.6846	[kN]		
Sforzo tangenziale sul piano di posa della fondazione	53.7385	[kN]		
Eccentricità rispetto al baricentro della fondazione	0.16	[m]		
Lunghezza fondazione reagente	2.70	[m]		
Risultante in fondazione	196.1879	[kN]		
Inclinazione della risultante (rispetto alla normale)	15.90	[°]		
Momento rispetto al baricentro della fondazione	30.8790	[kNm]		
Carico ultimo della fondazione	4565.1438	[kN]		

Tensioni sul terreno

Lunghezza fondazione reagente	2.70	[m]		
Tensione terreno allo spigolo di valle	0.09530	[MPa]		
Tensione terreno allo spigolo di monte	0.04447	[MPa]		

PV_D_SR_AP_CA_3_F_001-001_0_005_R_A_0

Cavalcavia Sv. Riese CA.3F.01 – Relazione di calcolo muri in attacco alla spalla SP2Fattori per il calcolo della capacità portante

Coeff. capacità portante	$N_c = 75.31$	$N_q = 64.20$	$N_\gamma = 109.41$
Fattori forma	$s_c = 1.00$	$s_q = 1.00$	$s_\gamma = 1.00$
Fattori inclinazione	$i_c = 0.54$	$i_q = 0.55$	$i_\gamma = 0.39$
Fattori profondità	$d_c = 1.16$	$d_q = 1.09$	$d_\gamma = 1.00$
Fattori inclinazione piano posa	$b_c = 1.00$	$b_q = 1.00$	$b_\gamma = 1.00$
Fattori inclinazione pendio	$g_c = 1.00$	$g_q = 1.00$	$g_\gamma = 1.00$

I coefficienti N' tengono conto dei fattori di forma, profondità, inclinazione carico, inclinazione piano di posa, inclinazione pendio.

$N'_c = 59.46$	$N'_q = 47.73$	$N'_\gamma = 60.45$
----------------	----------------	---------------------

COEFFICIENTI DI SICUREZZA

Coefficiente di sicurezza a scorrimento	3.46
Coefficiente di sicurezza a carico ultimo	24.19

Sollecitazioni fondazione di valleCombinazione n° 14

L'ascissa X(espressa in m) è considerata positiva verso monte con origine in corrispondenza dell'estremo libero della fondazione di valle

Momento positivo se tende le fibre inferiori, espresso in kNm

Taglio positivo se diretto verso l'alto, espresso in kN

Nr.	X	M	T
1	0.00	0.0000	0.0000
2	0.05	0.0881	3.5164
3	0.10	0.3509	6.9857
4	0.15	0.7859	10.4079
5	0.20	1.3909	13.7831
6	0.25	2.1634	17.1112
7	0.30	3.1012	20.3922
8	0.35	4.2019	23.6262
9	0.40	5.4630	26.8131
10	0.45	6.8824	29.9530
11	0.50	8.4576	33.0458

Sollecitazioni fondazione di monteCombinazione n° 14

L'ascissa X(espressa in m) è considerata positiva verso valle con origine in corrispondenza dell'estremo libero della fondazione di monte

Momento positivo se tende le fibre inferiori, espresso in kNm

Taglio positivo se diretto verso l'alto, espresso in kN

Nr.	X	M	T
1	0.00	0.0000	0.0000
2	0.21	-0.5449	-5.0515
3	0.42	-2.0635	-9.2729
4	0.63	-4.3796	-12.5440
5	0.84	-7.2091	-14.2648
6	1.05	-10.3127	-15.1555
7	1.26	-13.5163	-15.2160
8	1.47	-16.6453	-14.4462
9	1.68	-19.5256	-12.8462
10	1.89	-21.9826	-10.4160
11	2.10	-23.8422	-7.1556

Armature e tensioni nei materiali della fondazioneCombinazione n° 14

PV_D_SR_AP_CA_3_F_001-001_0_005_R_A_0

Cavalcavia Sv. Riese CA.3F.01 – Relazione di calcolo muri in attacco alla spalla SP2

Simbologia adottata

B	base della sezione espressa in [m]
H	altezza della sezione espressa in [m]
A _{fi}	area di armatura in corrispondenza del lembo inferiore in [mq]
A _{fs}	area di armatura in corrispondenza del lembo superiore in [mq]
N _u	sforzo normale ultimo espresso in [kN]
M _u	momento ultimo espresso in [kNm]
CS	coefficiente sicurezza sezione
V _{Rcd}	Aliquota di taglio assorbito dal cls, espresso in [kN]
V _{Rsd}	Aliquota di taglio assorbito dall'armatura, espresso in [kN]
VRd	Resistenza al taglio, espresso in [kN]

Fondazione di valle

(L'ascissa X, espressa in [m], è positiva verso monte con origine in corrispondenza dell'estremo libero della fondazione di valle)

Nr.	Y	B, H	A _{fs}	A _{fi}	N _u	M _u	CS	V _{Rd}	V _{Rcd}	V _{Rsd}
1	0.00	1.00, 0.500	0.000000	0.000565	0.00	0.00	1000.00	173.53	--	--
2	0.05	1.00, 0.500	0.000000	0.000565	0.00	98.61	1119.21	173.53	--	--
3	0.10	1.00, 0.500	0.0010050	0.000565	0.00	98.55	280.90	173.53	--	--
4	0.15	1.00, 0.500	0.0010050	0.000565	0.00	98.55	125.41	173.53	--	--
5	0.20	1.00, 0.500	0.0010050	0.000565	0.00	98.55	70.86	173.53	--	--
6	0.25	1.00, 0.500	0.0010050	0.000565	0.00	98.55	45.56	173.53	--	--
7	0.30	1.00, 0.500	0.0010050	0.000565	0.00	98.55	31.78	173.53	--	--
8	0.35	1.00, 0.500	0.0010050	0.000565	0.00	98.55	23.46	173.53	--	--
9	0.40	1.00, 0.500	0.0010050	0.000565	0.00	98.55	18.04	173.53	--	--
10	0.45	1.00, 0.500	0.0010050	0.000565	0.00	98.55	14.32	173.53	--	--
11	0.50	1.00, 0.500	0.0010050	0.000565	0.00	98.55	11.65	173.53	--	--

Fondazione di monte

(L'ascissa X, espressa in [m], è positiva verso valle con origine in corrispondenza dell'estremo libero della fondazione di monte)

Nr.	Y	B, H	A _{fs}	A _{fi}	N _u	M _u	CS	V _{Rd}	V _{Rcd}	V _{Rsd}
1	0.00	1.00, 0.500	0.000000	0.000565	0.00	0.00	1000.00	173.53	--	--
2	0.21	1.00, 0.500	0.0010050	0.000565	0.00	-172.73	316.97	173.53	--	--
3	0.42	1.00, 0.500	0.0010050	0.000565	0.00	-172.73	83.71	173.53	--	--
4	0.63	1.00, 0.500	0.0010050	0.000565	0.00	-172.73	39.44	173.53	--	--
5	0.84	1.00, 0.500	0.0010050	0.000565	0.00	-172.73	23.96	173.53	--	--
6	1.05	1.00, 0.500	0.0010050	0.000565	0.00	-172.73	16.75	173.53	--	--
7	1.26	1.00, 0.500	0.0010050	0.000565	0.00	-172.73	12.78	173.53	--	--
8	1.47	1.00, 0.500	0.0010050	0.000565	0.00	-172.73	10.38	173.53	--	--
9	1.68	1.00, 0.500	0.0010050	0.000565	0.00	-172.73	8.85	173.53	--	--
10	1.89	1.00, 0.500	0.0010050	0.000565	0.00	-172.73	7.86	173.53	--	--
11	2.10	1.00, 0.500	0.0010050	0.000565	0.00	-172.73	7.24	173.53	--	--

COMBINAZIONE n° 15

Valore della spinta statica	36.7102	[kN]		
Componente orizzontale della spinta statica	34.5820	[kN]		
Componente verticale della spinta statica	12.3175	[kN]		
Punto d'applicazione della spinta	X = 2.10	[m]	Y = -2.27	[m]
Inclinaz. della spinta rispetto alla normale alla superficie	19.61	[°]		
Inclinazione linea di rottura in condizioni statiche	56.17	[°]		
Incremento sismico della spinta	11.3704	[kN]		
Punto d'applicazione dell'incremento sismico di spinta	X = 2.10	[m]	Y = -2.27	[m]
Inclinazione linea di rottura in condizioni sismiche	50.48	[°]		
Peso terrapieno gravante sulla fondazione a monte	113.1000	[kN]		
Baricentro terrapieno gravante sulla fondazione a monte	X = 1.05	[m]	Y = -1.50	[m]
Numero contrafforti	8			
Peso del singolo contrafforte	4.5000	[kN]		
Peso del contrafforte riferito ad un metro di muro	3.7500	[kN]		
PV_D_SR_AP_CA_3_F_001-_001_0_005_R_A_0				

Cavalcavia Sv. Riese CA.3F.01 – Relazione di calcolo muri in attacco alla spalla SP2

Baricentro contrafforte	X = 0.15	[m]	Y = -1.50	[m]
Inerzia del muro	4.5375	[kN]		
Inerzia verticale del muro	2.2687	[kN]		
Inerzia del terrapieno fondazione di monte	12.4410	[kN]		
Inerzia verticale del terrapieno fondazione di monte	6.2205	[kN]		
Inerzia del singolo contrafforte	0.4950	[kN]		
Inerzia del contrafforte riferita ad un metro di muro	0.4125	[kN]		
Inerzia verticale del singolo contrafforte	0.2475	[kN]		
Inerzia verticale del contrafforte riferita ad un metro di muro	0.2062	[kN]		

Risultanti

Risultante dei carichi applicati in dir. orizzontale	63.3442	[kN]
Risultante dei carichi applicati in dir. verticale	188.9282	[kN]
Resistenza passiva a valle del muro	-21.2853	[kN]
Sforzo normale sul piano di posa della fondazione	188.9282	[kN]
Sforzo tangenziale sul piano di posa della fondazione	63.3442	[kN]
Eccentricità rispetto al baricentro della fondazione	0.22	[m]
Lunghezza fondazione reagente	2.70	[m]
Risultante in fondazione	199.2645	[kN]
Inclinazione della risultante (rispetto alla normale)	18.54	[°]
Momento rispetto al baricentro della fondazione	42.3957	[kNm]
Carico ultimo della fondazione	1477.4809	[kN]

Tensioni sul terreno

Lunghezza fondazione reagente	2.70	[m]
Tensione terreno allo spigolo di valle	0.10487	[MPa]
Tensione terreno allo spigolo di monte	0.03508	[MPa]

Fattori per il calcolo della capacità portante

Coeff. capacità portante	$N_c = 75.31$	$N_q = 64.20$	$N_\gamma = 109.41$
Fattori forma	$s_c = 1.00$	$s_q = 1.00$	$s_\gamma = 1.00$
Fattori inclinazione	$i_c = 0.46$	$i_q = 0.48$	$i_\gamma = 0.32$
Fattori profondità	$d_c = 1.16$	$d_q = 1.11$	$d_\gamma = 1.00$
Fattori inclinazione piano posa	$b_c = 1.00$	$b_q = 1.00$	$b_\gamma = 1.00$
Fattori inclinazione pendio	$g_c = 1.00$	$g_q = 1.00$	$g_\gamma = 1.00$
I coefficienti N' tengono conto dei fattori di forma, profondità, inclinazione carico, inclinazione piano di posa, inclinazione pendio.			
	$N'_c = 59.46$	$N'_q = 47.73$	$N'_\gamma = 60.45$

COEFFICIENTI DI SICUREZZA

Coefficiente di sicurezza a scorrimento	2.34
Coefficiente di sicurezza a carico ultimo	7.82

Sollecitazioni fondazione di valleCombinazione n° 15

L'ascissa X(espressa in m) è considerata positiva verso monte con origine in corrispondenza dell'estremo libero della fondazione di valle

Momento positivo se tende le fibre inferiori, espresso in kNm

Taglio positivo se diretto verso l'alto, espresso in kN

Nr.	X	M	T
1	0.00	0.0000	0.0000
2	0.05	0.0999	3.9860
3	0.10	0.3975	7.9075
4	0.15	0.8896	11.7643
5	0.20	1.5729	15.5565
6	0.25	2.4442	19.2840
7	0.30	3.5002	22.9470
8	0.35	4.7378	26.5453
9	0.40	6.1537	30.0790

PV_D_SR_AP_CA_3_F_001-_001_0_005_R_A_0

Cavalcavia Sv. Rlese CA.3F.01 – Relazione di calcolo muri in attacco alla spalla SP2

10	0.45	7.7446	33.5481
11	0.50	9.5074	36.9526

Sollecitazioni fondazione di monteCombinazione n° 15

L'ascissa X(espressa in m) è considerata positiva verso valle con origine in corrispondenza dell'estremo libero della fondazione di monte

Momento positivo se tende le fibre inferiori, espresso in kNm

Taglio positivo se diretto verso l'alto, espresso in kN

Nr.	X	M	T
1	0.00	0.0000	0.0000
2	0.21	-0.7411	-6.8683
3	0.42	-2.8049	-12.5968
4	0.63	-5.9502	-17.0654
5	0.84	-9.8278	-19.6741
6	1.05	-14.1335	-21.1430
7	1.26	-18.6280	-21.4720
8	1.47	-23.0719	-20.6612
9	1.68	-27.2259	-18.7105
10	1.89	-30.8506	-15.6199
11	2.10	-33.7065	-11.3895

Armature e tensioni nei materiali della fondazioneCombinazione n° 15

Simbologia adottata

B	base della sezione espressa in [m]
H	altezza della sezione espressa in [m]
A _{fi}	area di armatura in corrispondenza del lembo inferiore in [mq]
A _{fs}	area di armatura in corrispondenza del lembo superiore in [mq]
N _u	sfuerzo normale ultimo espresso in [kN]
M _u	momento ultimo espresso in [kNm]
CS	coefficiente sicurezza sezione
VRcd	Aliquota di taglio assorbito dal cls, espresso in [kN]
VRsd	Aliquota di taglio assorbito dall'armatura, espresso in [kN]
VRd	Resistenza al taglio, espresso in [kN]

Fondazione di valle

(L'ascissa X, espressa in [m], è positiva verso monte con origine in corrispondenza dell'estremo libero della fondazione di valle)

Nr.	Y	B, H	A _{fs}	A _{fi}	N _u	M _u	CS	V _{Rd}	V _{Rcd}	V _{Rsd}
1	0.00	1.00, 0.500	0.0000000	0.000565	0.00	0.00	1000.00	173.53	--	--
2	0.05	1.00, 0.500	0.0000000	0.000565	0.00	98.61	986.87	173.53	--	--
3	0.10	1.00, 0.500	0.0010050	0.000565	0.00	98.55	247.92	173.53	--	--
4	0.15	1.00, 0.500	0.0010050	0.000565	0.00	98.55	110.79	173.53	--	--
5	0.20	1.00, 0.500	0.0010050	0.000565	0.00	98.55	62.66	173.53	--	--
6	0.25	1.00, 0.500	0.0010050	0.000565	0.00	98.55	40.32	173.53	--	--
7	0.30	1.00, 0.500	0.0010050	0.000565	0.00	98.55	28.16	173.53	--	--
8	0.35	1.00, 0.500	0.0010050	0.000565	0.00	98.55	20.80	173.53	--	--
9	0.40	1.00, 0.500	0.0010050	0.000565	0.00	98.55	16.02	173.53	--	--
10	0.45	1.00, 0.500	0.0010050	0.000565	0.00	98.55	12.73	173.53	--	--
11	0.50	1.00, 0.500	0.0010050	0.000565	0.00	98.55	10.37	173.53	--	--

Fondazione di monte

(L'ascissa X, espressa in [m], è positiva verso valle con origine in corrispondenza dell'estremo libero della fondazione di monte)

Nr.	Y	B, H	A _{fs}	A _{fi}	N _u	M _u	CS	V _{Rd}	V _{Rcd}	V _{Rsd}
1	0.00	1.00, 0.500	0.0000000	0.000565	0.00	0.00	1000.00	173.53	--	--
2	0.21	1.00, 0.500	0.0010050	0.000565	0.00	-172.73	233.07	173.53	--	--
3	0.42	1.00, 0.500	0.0010050	0.000565	0.00	-172.73	61.58	173.53	--	--

PV_D_SR_AP_CA_3_F_001-001_0_005_R_A_0

Cavalcavia Sv. Rlese CA.3F.01 – Relazione di calcolo muri in attacco alla spalla SP2

4	0.63	1.00, 0.500.0010050.000565	0.00	-172.73	29.03	173.53	--	--
5	0.84	1.00, 0.500.0010050.000565	0.00	-172.73	17.58	173.53	--	--
6	1.05	1.00, 0.500.0010050.000565	0.00	-172.73	12.22	173.53	--	--
7	1.26	1.00, 0.500.0010050.000565	0.00	-172.73	9.27	173.53	--	--
8	1.47	1.00, 0.500.0010050.000565	0.00	-172.73	7.49	173.53	--	--
9	1.68	1.00, 0.500.0010050.000565	0.00	-172.73	6.34	173.53	--	--
10	1.89	1.00, 0.500.0010050.000565	0.00	-172.73	5.60	173.53	--	--
11	2.10	1.00, 0.500.0010050.000565	0.00	-172.73	5.12	173.53	--	--

COMBINAZIONE n° 16

Valore della spinta statica	36.7102	[kN]						
Componente orizzontale della spinta statica	34.5820	[kN]						
Componente verticale della spinta statica	12.3175	[kN]						
Punto d'applicazione della spinta	X = 2.10	[m]	Y = -2.27				[m]	
Inclinaz. della spinta rispetto alla normale alla superficie	19.61	[°]						
Inclinazione linea di rottura in condizioni statiche	56.17	[°]						
Incremento sismico della spinta	7.4749	[kN]						
Punto d'applicazione dell'incremento sismico di spinta	X = 2.10	[m]	Y = -2.27				[m]	
Inclinazione linea di rottura in condizioni sismiche	49.79	[°]						
Peso terrapieno gravante sulla fondazione a monte	113.1000	[kN]						
Baricentro terrapieno gravante sulla fondazione a monte	X = 1.05	[m]	Y = -1.50				[m]	
Numero contrafforti	8							
Peso del singolo contrafforte	4.5000	[kN]						
Peso del contrafforte riferito ad un metro di muro	3.7500	[kN]						
Baricentro contrafforte	X = 0.15	[m]	Y = -1.50				[m]	
Inerzia del muro	4.5375	[kN]						
Inerzia verticale del muro	-2.2687	[kN]						
Inerzia del terrapieno fondazione di monte	12.4410	[kN]						
Inerzia verticale del terrapieno fondazione di monte	-6.2205	[kN]						
Inerzia del singolo contrafforte	0.4950	[kN]						
Inerzia del contrafforte riferita ad un metro di muro	0.4125	[kN]						
Inerzia verticale del singolo contrafforte	-0.2475	[kN]						
Inerzia verticale del contrafforte riferita ad un metro di muro	-0.2062	[kN]						

Risultanti

Risultante dei carichi applicati in dir. orizzontale	59.6745	[kN]						
Risultante dei carichi applicati in dir. verticale	170.2301	[kN]						
Resistenza passiva a valle del muro	-21.2853	[kN]						
Sforzo normale sul piano di posa della fondazione	170.2301	[kN]						
Sforzo tangenziale sul piano di posa della fondazione	59.6745	[kN]						
Eccentricità rispetto al baricentro della fondazione	0.25	[m]						
Lunghezza fondazione reagente	2.70	[m]						
Risultante in fondazione	180.3867	[kN]						
Inclinazione della risultante (rispetto alla normale)	19.32	[°]						
Momento rispetto al baricentro della fondazione	42.4597	[kNm]						
Carico ultimo della fondazione	1369.1347	[kN]						

Tensioni sul terreno

Lunghezza fondazione reagente	2.70	[m]						
Tensione terreno allo spigolo di valle	0.09799	[MPa]						
Tensione terreno allo spigolo di monte	0.02810	[MPa]						

Fattori per il calcolo della capacità portante

Coeff. capacità portante	$N_c = 75.31$	$N_q = 64.20$	$N_\gamma = 109.41$
Fattori forma	$s_c = 1.00$	$s_q = 1.00$	$s_\gamma = 1.00$
Fattori inclinazione	$i_c = 0.44$	$i_q = 0.46$	$i_\gamma = 0.30$
Fattori profondità	$d_c = 1.16$	$d_q = 1.11$	$d_\gamma = 1.00$

PV_D_SR_AP_CA_3_F_001-_001_0_005_R_A_0

Cavalcavia Sv. Rlese CA.3F.01 – Relazione di calcolo muri in attacco alla spalla SP2

Fattori inclinazione piano posa $b_c = 1.00$ $b_q = 1.00$ $b_\gamma = 1.00$
Fattori inclinazione pendio $g_c = 1.00$ $g_q = 1.00$ $g_\gamma = 1.00$

I coefficienti N' tengono conto dei fattori di forma, profondità, inclinazione carico, inclinazione piano di posa, inclinazione pendio.

$N'_c = 59.46$ $N'_q = 47.73$ $N'_\gamma = 60.45$

COEFFICIENTI DI SICUREZZA

Coefficiente di sicurezza a scorrimento 2.27
 Coefficiente di sicurezza a carico ultimo 8.04

Sollecitazioni fondazione di valle**Combinazione n° 16**

L'ascissa X(espressa in m) è considerata positiva verso monte con origine in corrispondenza dell'estremo libero della fondazione di valle

Momento positivo se tende le fibre inferiori, espresso in kNm

Taglio positivo se diretto verso l'alto, espresso in kN

Nr.	X	M	T
1	0.00	0.0000	0.0000
2	0.05	0.0913	3.6424
3	0.10	0.3632	7.2200
4	0.15	0.8123	10.7329
5	0.20	1.4354	14.1812
6	0.25	2.2293	17.5647
7	0.30	3.1908	20.8835
8	0.35	4.3166	24.1375
9	0.40	5.6034	27.3269
10	0.45	7.0482	30.4515
11	0.50	8.6475	33.5115

Sollecitazioni fondazione di monte**Combinazione n° 16**

L'ascissa X(espressa in m) è considerata positiva verso valle con origine in corrispondenza dell'estremo libero della fondazione di monte

Momento positivo se tende le fibre inferiori, espresso in kNm

Taglio positivo se diretto verso l'alto, espresso in kN

Nr.	X	M	T
1	0.00	0.0000	0.0000
2	0.21	-0.8949	-8.3328
3	0.42	-3.4199	-15.5240
4	0.63	-7.3333	-21.4537
5	0.84	-12.2857	-25.5217
6	1.05	-17.9725	-28.4482
7	1.26	-24.1540	-30.2331
8	1.47	-30.5905	-30.8765
9	1.68	-37.0423	-30.3782
10	1.89	-43.2695	-28.7384
11	2.10	-49.0325	-25.9570

Armature e tensioni nei materiali della fondazione**Combinazione n° 16**

Simbologia adottata

B base della sezione espressa in [m]
 H altezza della sezione espressa in [m]
 A_{fi} area di armatura in corrispondenza del lembo inferiore in [mq]
 A_{fs} area di armatura in corrispondenza del lembo superiore in [mq]
 N_u sforzo normale ultimo espresso in [kN]
 M_u momento ultimo espresso in [kNm]
 CS coefficiente sicurezza sezione

PV_D_SR_AP_CA_3_F_001-_001_0_005_R_A_0

Cavalcavia Sv. Riese CA.3F.01 – Relazione di calcolo muri in attacco alla spalla SP2

VRcd Aliquota di taglio assorbito dal cls, espresso in [kN]
 VRsd Aliquota di taglio assorbito dall'armatura, espresso in [kN]
 VRd Resistenza al taglio, espresso in [kN]

Fondazione di valle

(L'ascissa X, espressa in [m], è positiva verso monte con origine in corrispondenza dell'estremo libero della fondazione di valle)

Nr.	Y	B, H	A _{fs}	A _{fi}	N _u	M _u	CS	V _{Rd}	V _{Rcd}	V _{Rsd}
1	0.00	1.00, 0.500	0.0000000	0.000565	0.00	0.00	1000.00	173.53	--	--
2	0.05	1.00, 0.500	0.0000000	0.000565	0.00	98.61	1079.71	173.53	--	--
3	0.10	1.00, 0.500	0.0010050	0.000565	0.00	98.55	271.38	173.53	--	--
4	0.15	1.00, 0.500	0.0010050	0.000565	0.00	98.55	121.34	173.53	--	--
5	0.20	1.00, 0.500	0.0010050	0.000565	0.00	98.55	68.66	173.53	--	--
6	0.25	1.00, 0.500	0.0010050	0.000565	0.00	98.55	44.21	173.53	--	--
7	0.30	1.00, 0.500	0.0010050	0.000565	0.00	98.55	30.89	173.53	--	--
8	0.35	1.00, 0.500	0.0010050	0.000565	0.00	98.55	22.83	173.53	--	--
9	0.40	1.00, 0.500	0.0010050	0.000565	0.00	98.55	17.59	173.53	--	--
10	0.45	1.00, 0.500	0.0010050	0.000565	0.00	98.55	13.98	173.53	--	--
11	0.50	1.00, 0.500	0.0010050	0.000565	0.00	98.55	11.40	173.53	--	--

Fondazione di monte

(L'ascissa X, espressa in [m], è positiva verso valle con origine in corrispondenza dell'estremo libero della fondazione di monte)

Nr.	Y	B, H	A _{fs}	A _{fi}	N _u	M _u	CS	V _{Rd}	V _{Rcd}	V _{Rsd}
1	0.00	1.00, 0.500	0.0000000	0.000565	0.00	0.00	1000.00	173.53	--	--
2	0.21	1.00, 0.500	0.0010050	0.000565	0.00	-172.73	193.01	173.53	--	--
3	0.42	1.00, 0.500	0.0010050	0.000565	0.00	-172.73	50.51	173.53	--	--
4	0.63	1.00, 0.500	0.0010050	0.000565	0.00	-172.73	23.55	173.53	--	--
5	0.84	1.00, 0.500	0.0010050	0.000565	0.00	-172.73	14.06	173.53	--	--
6	1.05	1.00, 0.500	0.0010050	0.000565	0.00	-172.73	9.61	173.53	--	--
7	1.26	1.00, 0.500	0.0010050	0.000565	0.00	-172.73	7.15	173.53	--	--
8	1.47	1.00, 0.500	0.0010050	0.000565	0.00	-172.73	5.65	173.53	--	--
9	1.68	1.00, 0.500	0.0010050	0.000565	0.00	-172.73	4.66	173.53	--	--
10	1.89	1.00, 0.500	0.0010050	0.000565	0.00	-172.73	3.99	173.53	--	--
11	2.10	1.00, 0.500	0.0010050	0.000565	0.00	-172.73	3.52	173.53	--	--

COMBINAZIONE n° 17

Valore della spinta statica	36.7102	[kN]		
Componente orizzontale della spinta statica	34.5820	[kN]		
Componente verticale della spinta statica	12.3175	[kN]		
Punto d'applicazione della spinta	X = 2.10	[m]	Y = -2.27	[m]
Inclinaz. della spinta rispetto alla normale alla superficie	19.61	[°]		
Inclinazione linea di rottura in condizioni statiche	56.17	[°]		
Incremento sismico della spinta	7.4749	[kN]		
Punto d'applicazione dell'incremento sismico di spinta	X = 2.10	[m]	Y = -2.27	[m]
Inclinazione linea di rottura in condizioni sismiche	49.79	[°]		
Peso terrapieno gravante sulla fondazione a monte	113.1000	[kN]		
Baricentro terrapieno gravante sulla fondazione a monte	X = 1.05	[m]	Y = -1.50	[m]
Numero contrafforti	8			
Peso del singolo contrafforte	4.5000	[kN]		
Peso del contrafforte riferito ad un metro di muro	3.7500	[kN]		
Baricentro contrafforte	X = 0.15	[m]	Y = -1.50	[m]
Inerzia del muro	4.5375	[kN]		
Inerzia verticale del muro	-2.2687	[kN]		
Inerzia del terrapieno fondazione di monte	12.4410	[kN]		
Inerzia verticale del terrapieno fondazione di monte	-6.2205	[kN]		
Inerzia del singolo contrafforte	0.4950	[kN]		

PV_D_SR_AP_CA_3_F_001-_001_0_005_R_A_0

Cavalcavia Sv. Riese CA.3F.01 – Relazione di calcolo muri in attacco alla spalla SP2

Inerzia del contrafforte riferita ad un metro di muro	0.4125	[kN]
Inerzia verticale del singolo contrafforte	-0.2475	[kN]
Inerzia verticale del contrafforte riferita ad un metro di muro	-0.2062	[kN]

Risultanti

Risultante dei carichi applicati in dir. orizzontale	59.6745	[kN]
Risultante dei carichi applicati in dir. verticale	170.2301	[kN]
Resistenza passiva a valle del muro	-21.2853	[kN]
Momento ribaltante rispetto allo spigolo a valle	93.2932	[kNm]
Momento stabilizzante rispetto allo spigolo a valle	280.6441	[kNm]
Sforzo normale sul piano di posa della fondazione	170.2301	[kN]
Sforzo tangenziale sul piano di posa della fondazione	59.6745	[kN]
Eccentricità rispetto al baricentro della fondazione	0.25	[m]
Lunghezza fondazione reagente	2.70	[m]
Risultante in fondazione	180.3867	[kN]
Inclinazione della risultante (rispetto alla normale)	19.32	[°]
Momento rispetto al baricentro della fondazione	42.4597	[kNm]

COEFFICIENTI DI SICUREZZA

Coefficiente di sicurezza a ribaltamento	3.01
--	------

COMBINAZIONE n° 18

Valore della spinta statica	36.7102	[kN]		
Componente orizzontale della spinta statica	34.5820	[kN]		
Componente verticale della spinta statica	12.3175	[kN]		
Punto d'applicazione della spinta	X = 2.10	[m]	Y = -2.27	[m]
Inclinaz. della spinta rispetto alla normale alla superficie	19.61	[°]		
Inclinazione linea di rottura in condizioni statiche	56.17	[°]		
Incremento sismico della spinta	11.3704	[kN]		
Punto d'applicazione dell'incremento sismico di spinta	X = 2.10	[m]	Y = -2.27	[m]
Inclinazione linea di rottura in condizioni sismiche	50.48	[°]		
Peso terrapieno gravante sulla fondazione a monte	113.1000	[kN]		
Baricentro terrapieno gravante sulla fondazione a monte	X = 1.05	[m]	Y = -1.50	[m]
Numero contrafforti	8			
Peso del singolo contrafforte	4.5000	[kN]		
Peso del contrafforte riferito ad un metro di muro	3.7500	[kN]		
Baricentro contrafforte	X = 0.15	[m]	Y = -1.50	[m]
Inerzia del muro	4.5375	[kN]		
Inerzia verticale del muro	2.2687	[kN]		
Inerzia del terrapieno fondazione di monte	12.4410	[kN]		
Inerzia verticale del terrapieno fondazione di monte	6.2205	[kN]		
Inerzia del singolo contrafforte	0.4950	[kN]		
Inerzia del contrafforte riferita ad un metro di muro	0.4125	[kN]		
Inerzia verticale del singolo contrafforte	0.2475	[kN]		
Inerzia verticale del contrafforte riferita ad un metro di muro	0.2062	[kN]		

Risultanti

Risultante dei carichi applicati in dir. orizzontale	63.3442	[kN]
Risultante dei carichi applicati in dir. verticale	188.9282	[kN]
Resistenza passiva a valle del muro	-21.2853	[kN]
Momento ribaltante rispetto allo spigolo a valle	84.6672	[kNm]
Momento stabilizzante rispetto allo spigolo a valle	297.3246	[kNm]
Sforzo normale sul piano di posa della fondazione	188.9282	[kN]
Sforzo tangenziale sul piano di posa della fondazione	63.3442	[kN]
Eccentricità rispetto al baricentro della fondazione	0.22	[m]
Lunghezza fondazione reagente	2.70	[m]
Risultante in fondazione	199.2645	[kN]
Inclinazione della risultante (rispetto alla normale)	18.54	[°]

PV_D_SR_AP_CA_3_F_001-_001_0_005_R_A_0

Cavalcavia Sv. Riese CA.3F.01 – Relazione di calcolo muri in attacco alla spalla SP2

Momento rispetto al baricentro della fondazione 42.3957 [kNm]

COEFFICIENTI DI SICUREZZA

Coefficiente di sicurezza a ribaltamento 3.51

Stabilità globale muro + terrenoCombinazione n° 19

Le ascisse X sono considerate positive verso monte

Le ordinate Y sono considerate positive verso l'alto

Origine in testa al muro (spigolo contro terra)

W peso della striscia espresso in [kN]

α angolo fra la base della striscia e l'orizzontale espresso in [°] (positivo antiorario)

ϕ angolo d'attrito del terreno lungo la base della striscia

c coesione del terreno lungo la base della striscia espressa in [MPa]

b larghezza della striscia espressa in [m]

u pressione neutra lungo la base della striscia espressa in [MPa]

Metodo di Bishop

Numero di cerchi analizzati 36

Numero di strisce 25

Cerchio critico

Coordinate del centro X[m]= 0.00 Y[m]= 2.79

Raggio del cerchio R[m]= 6.63

Ascissa a valle del cerchio Xi[m]= -4.14

Ascissa a monte del cerchio Xs[m]= 6.03

Larghezza della striscia dx[m]= 0.41

Coefficiente di sicurezza C= 2.00

Le strisce sono numerate da monte verso valle

Caratteristiche delle strisce

Striscia	W	$\alpha(^{\circ})$	$W\sin\alpha$	$b/\cos\alpha$	ϕ	c	u
1	438.49	60.88	383.08	0.84	30.17	0.000	0.000
2	926.94	54.88	758.18	0.71	30.17	0.000	0.000
3	1318.30	49.14	996.99	0.62	30.17	0.000	0.000
4	1640.45	44.01	1139.69	0.57	30.17	0.000	0.000
5	1911.33	39.29	1210.40	0.53	30.17	0.000	0.000
6	2141.40	34.88	1224.55	0.50	30.17	0.000	0.000
7	2337.35	30.69	1193.07	0.47	30.17	0.000	0.000
8	2503.77	26.68	1124.31	0.46	30.17	0.000	0.000
9	2643.93	22.81	1024.95	0.44	30.17	0.000	0.000
10	2810.96	19.04	917.18	0.43	31.36	0.000	0.000
11	3006.69	15.36	796.53	0.42	33.87	0.000	0.000
12	2942.59	11.74	598.97	0.42	33.87	0.000	0.000
13	2979.70	8.17	423.68	0.41	33.87	0.000	0.000
14	3017.15	4.64	243.86	0.41	33.87	0.000	0.000
15	3189.12	1.12	62.08	0.41	33.87	0.000	0.000
16	1397.99	-2.40	-58.57	0.41	33.87	0.000	0.000
17	1112.11	-5.93	-114.83	0.41	33.87	0.000	0.000
18	1026.62	-9.48	-169.00	0.41	33.87	0.000	0.000
19	959.33	-13.06	-216.79	0.42	33.87	0.000	0.000
20	869.59	-16.70	-249.88	0.42	33.79	0.000	0.000
21	762.71	-20.41	-265.97	0.43	30.17	0.000	0.000
22	637.95	-24.21	-261.62	0.45	30.17	0.000	0.000
23	488.51	-28.13	-230.32	0.46	30.17	0.000	0.000
24	311.72	-32.20	-166.11	0.48	30.17	0.000	0.000
25	103.92	-36.46	-61.76	0.51	30.17	0.000	0.000

$\Sigma W_i = 406.7726$ [kN]

$\Sigma W_i \sin\alpha_i = 101.0360$ [kN]

PV_D_SR_AP_CA_3_F_001-001_0_005_R_A_0

Cavalcavia Sv. Riese CA.3F.01 – Relazione di calcolo muri in attacco alla spalla SP2

$$\Sigma W_i \tan \phi_i = 255.2939 \text{ [kN]}$$

$$\Sigma \tan \alpha_i \tan \phi_i = 3.41$$

Stabilità globale muro + terreno

Combinazione n° 20

Le ascisse X sono considerate positive verso monte

Le ordinate Y sono considerate positive verso l'alto

Origine in testa al muro (spigolo contro terra)

W	peso della striscia espresso in [kN]
α	angolo fra la base della striscia e l'orizzontale espresso in [°] (positivo antiorario)
ϕ	angolo d'attrito del terreno lungo la base della striscia
c	coesione del terreno lungo la base della striscia espressa in [MPa]
b	larghezza della striscia espressa in [m]
u	pressione neutra lungo la base della striscia espressa in [MPa]

Metodo di Bishop

Numero di cerchi analizzati 36

Numero di strisce 25

Cerchio critico

Coordinate del centro X[m]= 0.00 Y[m]= 2.79

Raggio del cerchio R[m]= 6.63

Ascissa a valle del cerchio Xi[m]= -4.14

Ascissa a monte del cerchio Xs[m]= 6.03

Larghezza della striscia dx[m]= 0.41

Coefficiente di sicurezza C= 1.95

Le strisce sono numerate da monte verso valle

Caratteristiche delle strisce

Striscia	W	$\alpha(^{\circ})$	$W \sin \alpha$	$b / \cos \alpha$	ϕ	c	u
1	438.49	60.88	383.08	0.84	30.17	0.000	0.000
2	926.94	54.88	758.18	0.71	30.17	0.000	0.000
3	1318.30	49.14	996.99	0.62	30.17	0.000	0.000
4	1640.45	44.01	1139.69	0.57	30.17	0.000	0.000
5	1911.33	39.29	1210.40	0.53	30.17	0.000	0.000
6	2141.40	34.88	1224.55	0.50	30.17	0.000	0.000
7	2337.35	30.69	1193.07	0.47	30.17	0.000	0.000
8	2503.77	26.68	1124.31	0.46	30.17	0.000	0.000
9	2643.93	22.81	1024.95	0.44	30.17	0.000	0.000
10	2810.96	19.04	917.18	0.43	31.36	0.000	0.000
11	3006.69	15.36	796.53	0.42	33.87	0.000	0.000
12	2942.59	11.74	598.97	0.42	33.87	0.000	0.000
13	2979.70	8.17	423.68	0.41	33.87	0.000	0.000
14	3017.15	4.64	243.86	0.41	33.87	0.000	0.000
15	3189.12	1.12	62.08	0.41	33.87	0.000	0.000
16	1397.99	-2.40	-58.57	0.41	33.87	0.000	0.000
17	1112.11	-5.93	-114.83	0.41	33.87	0.000	0.000
18	1026.62	-9.48	-169.00	0.41	33.87	0.000	0.000
19	959.33	-13.06	-216.79	0.42	33.87	0.000	0.000
20	869.59	-16.70	-249.88	0.42	33.79	0.000	0.000
21	762.71	-20.41	-265.97	0.43	30.17	0.000	0.000
22	637.95	-24.21	-261.62	0.45	30.17	0.000	0.000
23	488.51	-28.13	-230.32	0.46	30.17	0.000	0.000
24	311.72	-32.20	-166.11	0.48	30.17	0.000	0.000
25	103.92	-36.46	-61.76	0.51	30.17	0.000	0.000

$$\Sigma W_i = 406.7726 \text{ [kN]}$$

$$\Sigma W_i \sin \alpha_i = 101.0360 \text{ [kN]}$$

$$\Sigma W_i \tan \phi_i = 255.2939 \text{ [kN]}$$

$$\Sigma \tan \alpha_i \tan \phi_i = 3.41$$

PV_D_SR_AP_CA_3_F_001-_001_0_005_R_A_0

Sollecitazioni fondazione di valle

Combinazione n° 21

L'ascissa X(espressa in m) è considerata positiva verso monte con origine in corrispondenza dell'estremo libero della fondazione di valle

Momento positivo se tende le fibre inferiori, espresso in kNm

Taglio positivo se diretto verso l'alto, espresso in kN

Nr.	X	M	T
1	0.00	0.0000	0.0000
2	0.05	0.0486	1.9431
3	0.10	0.1944	3.8896
4	0.15	0.4376	5.8396
5	0.20	0.7784	7.7929
6	0.25	1.2169	9.7497
7	0.30	1.7534	11.7098
8	0.35	2.3880	13.6734
9	0.40	3.1208	15.6404
10	0.45	3.9521	17.6108
11	0.50	4.8819	19.5847

Sollecitazioni fondazione di monte

Combinazione n° 21

L'ascissa X(espressa in m) è considerata positiva verso valle con origine in corrispondenza dell'estremo libero della fondazione di monte

Momento positivo se tende le fibre inferiori, espresso in kNm

Taglio positivo se diretto verso l'alto, espresso in kN

Nr.	X	M	T
1	0.00	0.0000	0.0000
2	0.21	-0.0790	-0.7621
3	0.42	-0.3243	-1.5845
4	0.63	-0.7469	-2.3470
5	0.84	-1.2495	-2.4498
6	1.05	-1.7800	-2.6128
7	1.26	-2.3511	-2.8360
8	1.47	-2.9753	-3.1193
9	1.68	-3.6654	-3.4629
10	1.89	-4.4340	-3.8667
11	2.10	-5.2936	-4.3307

Armature e tensioni nei materiali della fondazione

Combinazione n° 21

Simbologia adottata

B	base della sezione espressa in [m]
H	altezza della sezione espressa in [m]
A _{fi}	area di armatura in corrispondenza del lembo inferiore in [mq]
A _{fs}	area di armatura in corrispondenza del lembo superiore in [mq]
σ _c	tensione nel calcestruzzo espressa in [MPa]
τ _c	tensione tangenziale nel calcestruzzo espressa in [MPa]
σ _{fi}	tensione nell'armatura disposta in corrispondenza del lembo inferiore in [MPa]
σ _{fs}	tensione nell'armatura disposta in corrispondenza del lembo superiore in [MPa]

Fondazione di valle

(L'ascissa X, espressa in [m], è positiva verso monte con origine in corrispondenza dell'estremo libero della fondazione di valle)

Nr.	X	B, H	A _{fs}	A _{fi}	σ _c	τ _c	σ _{fi}	σ _{fs}
1	0.00	1.00, 0.50	0.000000	0.000565	0.000	0.000	0.000	0.000
2	0.05	1.00, 0.50	0.000000	0.000565	0.003	0.005	0.198	0.000

PV_D_SR_AP_CA_3_F_001-001_0_005_R_A_0

Cavalcavia Sv. Rlese CA.3F.01 – Relazione di calcolo muri in attacco alla spalla SP2

3	0.10	1.00, 0.500.0010050.000565	0.010	0.010	0.794	-0.070
4	0.15	1.00, 0.500.0010050.000565	0.023	0.015	1.788	-0.159
5	0.20	1.00, 0.500.0010050.000565	0.041	0.020	3.180	-0.282
6	0.25	1.00, 0.500.0010050.000565	0.064	0.025	4.972	-0.441
7	0.30	1.00, 0.500.0010050.000565	0.092	0.030	7.164	-0.636
8	0.35	1.00, 0.500.0010050.000565	0.125	0.035	9.756	-0.866
9	0.40	1.00, 0.500.0010050.000565	0.164	0.040	12.750	-1.132
10	0.45	1.00, 0.500.0010050.000565	0.207	0.045	16.146	-1.433
11	0.50	1.00, 0.500.0010050.000565	0.256	0.050	19.945	-1.770

Fondazione di monte

(L'ascissa X, espressa in [m], è positiva verso valle con origine in corrispondenza dell'estremo libero della fondazione di monte)

Nr.	X	B, H	A _{fs}	A _{fi}	σ _c	τ _c	σ _{fi}	σ _{fs}
1	0.00	1.00, 0.500.0000000.000565	0.000	0.000	0.000	0.000	0.000	0.000
2	0.21	1.00, 0.500.0010050.000565	0.003	-0.002	-0.030	0.184		
3	0.42	1.00, 0.500.0010050.000565	0.014	-0.004	-0.125	0.757		
4	0.63	1.00, 0.500.0010050.000565	0.032	-0.006	-0.287	1.743		
5	0.84	1.00, 0.500.0010050.000565	0.054	-0.006	-0.480	2.916		
6	1.05	1.00, 0.500.0010050.000565	0.076	-0.007	-0.684	4.154		
7	1.26	1.00, 0.500.0010050.000565	0.101	-0.007	-0.903	5.487		
8	1.47	1.00, 0.500.0010050.000565	0.128	-0.008	-1.143	6.943		
9	1.68	1.00, 0.500.0010050.000565	0.157	-0.009	-1.408	8.554		
10	1.89	1.00, 0.500.0010050.000565	0.190	-0.010	-1.703	10.347		
11	2.10	1.00, 0.500.0010050.000565	0.227	-0.011	-2.033	12.354		

Sollecitazioni fondazione di valleCombinazione n° 22

L'ascissa X(espressa in m) è considerata positiva verso monte con origine in corrispondenza dell'estremo libero della fondazione di valle

Momento positivo se tende le fibre inferiori, espresso in kNm

Taglio positivo se diretto verso l'alto, espresso in kN

Nr.	X	M	T
1	0.00	0.0000	0.0000
2	0.05	0.1296	5.1661
3	0.10	0.5149	10.2304
4	0.15	1.1509	15.1928
5	0.20	2.0325	20.0534
6	0.25	3.1546	24.8121
7	0.30	4.5120	29.4689
8	0.35	6.0998	34.0239
9	0.40	7.9127	38.4771
10	0.45	9.9458	42.8283
11	0.50	12.1938	47.0778

Sollecitazioni fondazione di monteCombinazione n° 22

L'ascissa X(espressa in m) è considerata positiva verso valle con origine in corrispondenza dell'estremo libero della fondazione di monte

Momento positivo se tende le fibre inferiori, espresso in kNm

Taglio positivo se diretto verso l'alto, espresso in kN

Nr.	X	M	T
1	0.00	0.0000	0.0000
2	0.21	-1.6286	-15.2113
3	0.42	-6.2630	-28.6259
4	0.63	-13.5127	-39.3722
5	0.84	-22.2029	-43.0929

Cavalcavia Sv. Riese CA.3F.01 – Relazione di calcolo muri in attacco alla spalla SP2

6	1.05	-31.4859	-45.0167
7	1.26	-40.9842	-45.1439
8	1.47	-50.3206	-43.4743
9	1.68	-59.1177	-40.0080
10	1.89	-66.9982	-34.7450
11	2.10	-73.5848	-27.6853

Armature e tensioni nei materiali della fondazioneCombinazione n° 22

Simbologia adottata

B	base della sezione espressa in [m]
H	altezza della sezione espressa in [m]
A _{fi}	area di armatura in corrispondenza del lembo inferiore in [mq]
A _{fs}	area di armatura in corrispondenza del lembo superiore in [mq]
σ _c	tensione nel calcestruzzo espressa in [MPa]
τ _c	tensione tangenziale nel calcestruzzo espressa in [MPa]
σ _{fi}	tensione nell'armatura disposta in corrispondenza del lembo inferiore in [MPa]
σ _{fs}	tensione nell'armatura disposta in corrispondenza del lembo superiore in [MPa]

Fondazione di valle

(L'ascissa X, espressa in [m], è positiva verso monte con origine in corrispondenza dell'estremo libero della fondazione di valle)

Nr.	X	B, H	A _{fs}	A _{fi}	σ _c	τ _c	σ _{fi}	σ _{fs}
1	0.00	1.00, 0.500	0.000000	0.000565	0.000	0.000	0.000	0.000
2	0.05	1.00, 0.500	0.000000	0.000565	0.007	0.013	0.529	0.000
3	0.10	1.00, 0.500	0.010050	0.000565	0.027	0.026	2.104	-0.187
4	0.15	1.00, 0.500	0.010050	0.000565	0.060	0.039	4.702	-0.417
5	0.20	1.00, 0.500	0.010050	0.000565	0.107	0.051	8.304	-0.737
6	0.25	1.00, 0.500	0.010050	0.000565	0.165	0.063	12.888	-1.144
7	0.30	1.00, 0.500	0.010050	0.000565	0.237	0.075	18.434	-1.636
8	0.35	1.00, 0.500	0.010050	0.000565	0.320	0.087	24.920	-2.212
9	0.40	1.00, 0.500	0.010050	0.000565	0.415	0.098	32.327	-2.869
10	0.45	1.00, 0.500	0.010050	0.000565	0.521	0.110	40.633	-3.607
11	0.50	1.00, 0.500	0.010050	0.000565	0.639	0.120	49.818	-4.422

Fondazione di monte

(L'ascissa X, espressa in [m], è positiva verso valle con origine in corrispondenza dell'estremo libero della fondazione di monte)

Nr.	X	B, H	A _{fs}	A _{fi}	σ _c	τ _c	σ _{fi}	σ _{fs}
1	0.00	1.00, 0.500	0.000000	0.000565	0.000	0.000	0.000	0.000
2	0.21	1.00, 0.500	0.010050	0.000565	0.070	-0.039	-0.625	3.801
3	0.42	1.00, 0.500	0.010050	0.000565	0.268	-0.073	-2.405	14.616
4	0.63	1.00, 0.500	0.010050	0.000565	0.579	-0.101	-5.189	31.534
5	0.84	1.00, 0.500	0.010050	0.000565	0.952	-0.110	-8.527	51.814
6	1.05	1.00, 0.500	0.010050	0.000565	1.349	-0.115	-12.091	73.478
7	1.26	1.00, 0.500	0.010050	0.000565	1.756	-0.115	-15.739	95.644
8	1.47	1.00, 0.500	0.010050	0.000565	2.157	-0.111	-19.324	117.432
9	1.68	1.00, 0.500	0.010050	0.000565	2.534	-0.102	-22.703	137.961
10	1.89	1.00, 0.500	0.010050	0.000565	2.871	-0.089	-25.729	156.352
11	2.10	1.00, 0.500	0.010050	0.000565	3.154	-0.071	-28.259	171.723

Sollecitazioni fondazione di valleCombinazione n° 23

L'ascissa X(espressa in m) è considerata positiva verso monte con origine in corrispondenza dell'estremo libero della fondazione di valle

Momento positivo se tende le fibre inferiori, espresso in kNm

Taglio positivo se diretto verso l'alto, espresso in kN

Nr.	X	M	T
-----	---	---	---

PV_D_SR_AP_CA_3_F_001-_001_0_005_R_A_0

Cavalcavia Sv. Rlese CA.3F.01 – Relazione di calcolo muri in attacco alla spalla SP2

1	0.00	0.0000	0.0000
2	0.05	0.0519	2.0764
3	0.10	0.2076	4.1512
4	0.15	0.4670	6.2243
5	0.20	0.8300	8.2959
6	0.25	1.2966	10.3658
7	0.30	1.8666	12.4341
8	0.35	2.5400	14.5008
9	0.40	3.3166	16.5659
10	0.45	4.1965	18.6294
11	0.50	5.1795	20.6912

Sollecitazioni fondazione di monteCombinazione n° 23

L'ascissa X(espressa in m) è considerata positiva verso valle con origine in corrispondenza dell'estremo libero della fondazione di monte

Momento positivo se tende le fibre inferiori, espresso in kNm

Taglio positivo se diretto verso l'alto, espresso in kN

Nr.	X	M	T
1	0.00	0.0000	0.0000
2	0.21	-0.1358	-1.2882
3	0.42	-0.5390	-2.5478
4	0.63	-1.2020	-3.6589
5	0.84	-2.0090	-4.0215
6	1.05	-2.8891	-4.3556
7	1.26	-3.8363	-4.6611
8	1.47	-4.8447	-4.9382
9	1.68	-5.9084	-5.1867
10	1.89	-7.0212	-5.4067
11	2.10	-8.1772	-5.5982

Armature e tensioni nei materiali della fondazioneCombinazione n° 23

Simbologia adottata

B	base della sezione espressa in [m]
H	altezza della sezione espressa in [m]
A _{fi}	area di armatura in corrispondenza del lembo inferiore in [mq]
A _{fs}	area di armatura in corrispondenza del lembo superiore in [mq]
σ _c	tensione nel calcestruzzo espressa in [MPa]
τ _c	tensione tangenziale nel calcestruzzo espressa in [MPa]
σ _{fi}	tensione nell'armatura disposta in corrispondenza del lembo inferiore in [MPa]
σ _{fs}	tensione nell'armatura disposta in corrispondenza del lembo superiore in [MPa]

Fondazione di valle

(L'ascissa X, espressa in [m], è positiva verso monte con origine in corrispondenza dell'estremo libero della fondazione di valle)

Nr.	X	B, H	A _{fs}	A _{fi}	σ _c	τ _c	σ _{fi}	σ _{fs}
1	0.00	1.00, 0.500	0.0000000	0.000565	0.000	0.000	0.000	0.000
2	0.05	1.00, 0.500	0.0000000	0.000565	0.003	0.005	0.212	0.000
3	0.10	1.00, 0.500	0.0010050	0.000565	0.011	0.011	0.848	-0.075
4	0.15	1.00, 0.500	0.0010050	0.000565	0.024	0.016	1.908	-0.169
5	0.20	1.00, 0.500	0.0010050	0.000565	0.044	0.021	3.391	-0.301
6	0.25	1.00, 0.500	0.0010050	0.000565	0.068	0.027	5.297	-0.470
7	0.30	1.00, 0.500	0.0010050	0.000565	0.098	0.032	7.626	-0.677
8	0.35	1.00, 0.500	0.0010050	0.000565	0.133	0.037	10.377	-0.921
9	0.40	1.00, 0.500	0.0010050	0.000565	0.174	0.042	13.550	-1.203
10	0.45	1.00, 0.500	0.0010050	0.000565	0.220	0.048	17.145	-1.522
11	0.50	1.00, 0.500	0.0010050	0.000565	0.271	0.053	21.161	-1.878

Fondazione di monte

(L'ascissa X, espressa in [m], è positiva verso valle con origine in corrispondenza dell'estremo libero della fondazione di monte)

Nr.	X	B, H	A _{fs}	A _{fi}	σ _c	τ _c	σ _{fi}	σ _{fs}
1	0.00	1.00, 0.500	0.0000000	0.000565	0.000	0.000	0.000	0.000
2	0.21	1.00, 0.500	0.0010050	0.000565	0.006	-0.003	-0.052	0.317
3	0.42	1.00, 0.500	0.0010050	0.000565	0.023	-0.007	-0.207	1.258
4	0.63	1.00, 0.500	0.0010050	0.000565	0.052	-0.009	-0.462	2.805
5	0.84	1.00, 0.500	0.0010050	0.000565	0.086	-0.010	-0.772	4.688
6	1.05	1.00, 0.500	0.0010050	0.000565	0.124	-0.011	-1.109	6.742
7	1.26	1.00, 0.500	0.0010050	0.000565	0.164	-0.012	-1.473	8.953
8	1.47	1.00, 0.500	0.0010050	0.000565	0.208	-0.013	-1.861	11.306
9	1.68	1.00, 0.500	0.0010050	0.000565	0.253	-0.013	-2.269	13.788
10	1.89	1.00, 0.500	0.0010050	0.000565	0.301	-0.014	-2.696	16.385
11	2.10	1.00, 0.500	0.0010050	0.000565	0.350	-0.014	-3.140	19.083

Sollecitazioni fondazione di valleCombinazione n° 24

L'ascissa X(espressa in m) è considerata positiva verso monte con origine in corrispondenza dell'estremo libero della fondazione di valle

Momento positivo se tende le fibre inferiori, espresso in kNm

Taglio positivo se diretto verso l'alto, espresso in kN

Nr.	X	M	T
1	0.00	0.0000	0.0000
2	0.05	0.1669	6.6498
3	0.10	0.6624	13.1470
4	0.15	1.4790	19.4916
5	0.20	2.6091	25.6837
6	0.25	4.0449	31.7231
7	0.30	5.7788	37.6100
8	0.35	7.8033	43.3443
9	0.40	10.1107	48.9261
10	0.45	12.6934	54.3552
11	0.50	15.5437	59.6318

Sollecitazioni fondazione di monteCombinazione n° 24

L'ascissa X(espressa in m) è considerata positiva verso valle con origine in corrispondenza dell'estremo libero della fondazione di monte

Momento positivo se tende le fibre inferiori, espresso in kNm

Taglio positivo se diretto verso l'alto, espresso in kN

Nr.	X	M	T
1	0.00	0.0000	0.0000
2	0.21	-2.2753	-21.4118
3	0.42	-8.8131	-40.4044
4	0.63	-19.0399	-55.5835
5	0.84	-31.3639	-61.3390
6	1.05	-44.6139	-64.4030
7	1.26	-58.2247	-64.7755
8	1.47	-71.6312	-62.4564
9	1.68	-84.2680	-57.4458
10	1.89	-95.5700	-49.7437
11	2.10	-104.9720	-39.3500

Armature e tensioni nei materiali della fondazioneCombinazione n° 24

PV_D_SR_AP_CA_3_F_001-_001_0_005_R_A_0

Cavalcavia Sv. Riese CA.3F.01 – Relazione di calcolo muri in attacco alla spalla SP2

Simbologia adottata

B	base della sezione espressa in [m]
H	altezza della sezione espressa in [m]
A _{fi}	area di armatura in corrispondenza del lembo inferiore in [mq]
A _{fs}	area di armatura in corrispondenza del lembo superiore in [mq]
σ_c	tensione nel calcestruzzo espressa in [MPa]
τ_c	tensione tangenziale nel calcestruzzo espressa in [MPa]
σ_{fi}	tensione nell'armatura disposta in corrispondenza del lembo inferiore in [MPa]
σ_{fs}	tensione nell'armatura disposta in corrispondenza del lembo superiore in [MPa]

Fondazione di valle

(L'ascissa X, espressa in [m], è positiva verso monte con origine in corrispondenza dell'estremo libero della fondazione di valle)

Nr.	X	B, H	A _{fs}	A _{fi}	σ_c	τ_c	σ_{fi}	σ_{fs}
1	0.00	1.00, 0.500	0.000000	0.000565	0.000	0.000	0.000	0.000
2	0.05	1.00, 0.500	0.000000	0.000565	0.010	0.017	0.681	0.000
3	0.10	1.00, 0.500	0.010050	0.000565	0.035	0.034	2.706	-0.240
4	0.15	1.00, 0.500	0.010050	0.000565	0.078	0.050	6.043	-0.536
5	0.20	1.00, 0.500	0.010050	0.000565	0.137	0.066	10.659	-0.946
6	0.25	1.00, 0.500	0.010050	0.000565	0.212	0.081	16.525	-1.467
7	0.30	1.00, 0.500	0.010050	0.000565	0.303	0.096	23.609	-2.096
8	0.35	1.00, 0.500	0.010050	0.000565	0.409	0.111	31.880	-2.830
9	0.40	1.00, 0.500	0.010050	0.000565	0.530	0.125	41.307	-3.666
10	0.45	1.00, 0.500	0.010050	0.000565	0.665	0.139	51.859	-4.603
11	0.50	1.00, 0.500	0.010050	0.000565	0.815	0.153	63.504	-5.637

Fondazione di monte

(L'ascissa X, espressa in [m], è positiva verso valle con origine in corrispondenza dell'estremo libero della fondazione di monte)

Nr.	X	B, H	A _{fs}	A _{fi}	σ_c	τ_c	σ_{fi}	σ_{fs}
1	0.00	1.00, 0.500	0.000000	0.000565	0.000	0.000	0.000	0.000
2	0.21	1.00, 0.500	0.010050	0.000565	0.098	-0.055	-0.874	5.310
3	0.42	1.00, 0.500	0.010050	0.000565	0.378	-0.103	-3.384	20.567
4	0.63	1.00, 0.500	0.010050	0.000565	0.816	-0.142	-7.312	44.433
5	0.84	1.00, 0.500	0.010050	0.000565	1.344	-0.157	-12.045	73.193
6	1.05	1.00, 0.500	0.010050	0.000565	1.912	-0.165	-17.133	104.114
7	1.26	1.00, 0.500	0.010050	0.000565	2.495	-0.166	-22.360	135.877
8	1.47	1.00, 0.500	0.010050	0.000565	3.070	-0.160	-27.508	167.163
9	1.68	1.00, 0.500	0.010050	0.000565	3.611	-0.147	-32.361	196.654
10	1.89	1.00, 0.500	0.010050	0.000565	4.096	-0.127	-36.702	223.029
11	2.10	1.00, 0.500	0.010050	0.000565	4.499	-0.101	-40.312	244.970

Sollecitazioni fondazione di valleCombinazione n° 25

L'ascissa X(espressa in m) è considerata positiva verso monte con origine in corrispondenza dell'estremo libero della fondazione di valle

Momento positivo se tende le fibre inferiori, espresso in kNm

Taglio positivo se diretto verso l'alto, espresso in kN

Nr.	X	M	T
1	0.00	0.0000	0.0000
2	0.05	0.1463	5.8326
3	0.10	0.5811	11.5381
4	0.15	1.2980	17.1167
5	0.20	2.2907	22.5682
6	0.25	3.5527	27.8928
7	0.30	5.0779	33.0903
8	0.35	6.8597	38.1609
9	0.40	8.8918	43.1044
10	0.45	11.1680	47.9209
11	0.50	13.6818	52.6105

PV_D_SR_AP_CA_3_F_001-_001_0_005_R_A_0

Sollecitazioni fondazione di monte

Combinazione n° 25

L'ascissa X(espressa in m) è considerata positiva verso valle con origine in corrispondenza dell'estremo libero della fondazione di monte

Momento positivo se tende le fibre inferiori, espresso in kNm

Taglio positivo se diretto verso l'alto, espresso in kN

Nr.	X	M	T
1	0.00	0.0000	0.0000
2	0.21	-1.9125	-17.8413
3	0.42	-7.3365	-33.4423
4	0.63	-15.7884	-45.9315
5	0.84	-26.0003	-50.9513
6	1.05	-37.0312	-53.7307
7	1.26	-48.4104	-54.2698
8	1.47	-59.6677	-52.5686
9	1.68	-70.3324	-48.6270
10	1.89	-79.9342	-42.4450
11	2.10	-88.0025	-34.0227

Armature e tensioni nei materiali della fondazione

Combinazione n° 25

Simbologia adottata

B	base della sezione espressa in [m]
H	altezza della sezione espressa in [m]
A _{fi}	area di armatura in corrispondenza del lembo inferiore in [mq]
A _{fs}	area di armatura in corrispondenza del lembo superiore in [mq]
σ _c	tensione nel calcestruzzo espressa in [MPa]
τ _c	tensione tangenziale nel calcestruzzo espressa in [MPa]
σ _{fi}	tensione nell'armatura disposta in corrispondenza del lembo inferiore in [MPa]
σ _{fs}	tensione nell'armatura disposta in corrispondenza del lembo superiore in [MPa]

Fondazione di valle

(L'ascissa X, espressa in [m], è positiva verso monte con origine in corrispondenza dell'estremo libero della fondazione di valle)

Nr.	X	B, H	A _{fs}	A _{fi}	σ _c	τ _c	σ _{fi}	σ _{fs}
1	0.00	1.00, 0.500	0.000000	0.000565	0.000	0.000	0.000	0.000
2	0.05	1.00, 0.500	0.000000	0.000565	0.008	0.015	0.597	0.000
3	0.10	1.00, 0.500	0.001005	0.000565	0.030	0.030	2.374	-0.211
4	0.15	1.00, 0.500	0.001005	0.000565	0.068	0.044	5.303	-0.471
5	0.20	1.00, 0.500	0.001005	0.000565	0.120	0.058	9.359	-0.831
6	0.25	1.00, 0.500	0.001005	0.000565	0.186	0.071	14.515	-1.288
7	0.30	1.00, 0.500	0.001005	0.000565	0.266	0.085	20.746	-1.841
8	0.35	1.00, 0.500	0.001005	0.000565	0.360	0.098	28.025	-2.488
9	0.40	1.00, 0.500	0.001005	0.000565	0.466	0.110	36.327	-3.224
10	0.45	1.00, 0.500	0.001005	0.000565	0.585	0.123	45.627	-4.050
11	0.50	1.00, 0.500	0.001005	0.000565	0.717	0.135	55.897	-4.961

Fondazione di monte

(L'ascissa X, espressa in [m], è positiva verso valle con origine in corrispondenza dell'estremo libero della fondazione di monte)

Nr.	X	B, H	A _{fs}	A _{fi}	σ _c	τ _c	σ _{fi}	σ _{fs}
1	0.00	1.00, 0.500	0.000000	0.000565	0.000	0.000	0.000	0.000
2	0.21	1.00, 0.500	0.001005	0.000565	0.082	-0.046	-0.734	4.463
3	0.42	1.00, 0.500	0.001005	0.000565	0.314	-0.086	-2.817	17.121
4	0.63	1.00, 0.500	0.001005	0.000565	0.677	-0.117	-6.063	36.845
5	0.84	1.00, 0.500	0.001005	0.000565	1.114	-0.130	-9.985	60.676
6	1.05	1.00, 0.500	0.001005	0.000565	1.587	-0.137	-14.221	86.418

Cavalcavia Sv. Riese CA.3F.01 – Relazione di calcolo muri in attacco alla spalla SP2

7	1.26	1.00, 0.500.0010050.000565	2.075	-0.139	-18.591	112.974
8	1.47	1.00, 0.500.0010050.000565	2.557	-0.134	-22.914	139.245
9	1.68	1.00, 0.500.0010050.000565	3.014	-0.124	-27.010	164.133
10	1.89	1.00, 0.500.0010050.000565	3.426	-0.109	-30.697	186.540
11	2.10	1.00, 0.500.0010050.000565	3.772	-0.087	-33.795	205.369